



دانشگاه صنعتی شریف
دانشکده فیزیک

پایان نامه‌ی کارشناسی ارشد
گروه انرژی بالا

عنوان:

گرانش کوانتومی دوبعدی و سه‌بعدی

نگارش:

حسین محمدی

استاد راهنما:

امین فرجی آستانه

آذر ماه ۱۴۰۳

فهرست مطالب

۸	۱ مقدمه
۱۰	۲ مدلِ گرانشِ دوبعدی Jackiw-Teitelboim
۱۱	۱-۲ نگاهی به مدل‌های گرانشی دیلاتونی
۱۳	۲-۲ گرانش JT کلاسیک
۱۴	۱-۲-۲ انگیزه: سیاه‌چاله‌های نزدیک به فرینه
۱۷	۲-۲-۲ تناظر JT با مدل توپولوژیک BF
۲۳	۳-۲-۲ جواب‌های کلاسیک کنش JT
۳۲	۴-۲-۲ شرایطِ مرزی در گرانش JT
۳۷	۵-۲-۲ ارتباط بین آنتروپی و میدان دیلاتونی
۳۹	۶-۲-۲ دینامیکِ خمِ مرزی JT
۴۹	۷-۲-۲ گرانش کلاسیک در حضور ماده‌ی کوانتومی
۴۹	۳-۲ گرانش JT کوانتومی
۵۰	۱-۳-۲ تصحیحات وارده به طیف گرانش JT
۵۶	۲-۳-۲ جفت کردن گرانش JT کوانتومی به ماده‌ی کوانتومی
۵۸	۳-۳-۲ توابع همبستگی
۶۵	۴-۳-۲ درج سایر عملگرها در گرانش JT - مقدمه‌ای بر نقایص

۶۹	۵-۳-۲	نگاهی به روش‌های متعارف یافتن دامنه‌ها
۷۳	۴-۲	کرم‌چاله‌های سهمیم در گرانش JT
۷۳	۱-۴-۲	انگیزه‌ی افزودن سهم‌های کرم‌چاله‌ای
۷۶	۲-۴-۲	دامنه‌های پیچیده‌تر: رویه‌هایی با چندین مرکز ژئودزیک و $g \geq 1$
۷۹	۳-۴-۲	تابع پارش قرص: $Z_{0,1}(\beta)$
۸۰	۴-۴-۲	تابع پارش استوانه‌ای: $Z_{0,2}(\beta_1, \beta_2)$
۸۲	۵-۴-۲	تابع پارش کلی: $Z_{g,n}(\beta_1, \dots, \beta_n)$
۸۷	۳	نظریه‌ی گرانش سه‌بعدی
۸۸	۱-۳	دوگان‌ی گرانشِ مجانباً پاددوسیته با نظریه میدان لیوویل
۸۸	۱-۱-۳	گرانش سه‌بعدی مجانباً دوسیته به‌عنوان یک نظریه‌ی Chern-Simons
۹۰	۲-۱-۳	ترجمه‌ی شرایطِ مرزی مجانباً پاددوسیته روی میدان‌های پیمانه‌ای
۹۳	۳-۱-۳	بهبودِ کنشِ Chern-Simons
۹۵	۴-۱-۳	تبدیل کنش Chern-Simons به جمع دو کنش WZW
۹۹	۵-۱-۳	تبدیل به کنش غیردستیده‌ی WZW
۱۰۰	۶-۱-۳	از مدل WZW به نظریه میدان لیوویل
۱۰۲	۲-۳	کلیاتِ گرانشِ اینشتینی سه‌بعدی
۱۰۳	۱-۲-۳	شرایطِ مرزی و جملاتِ مرزیِ کنش
۱۰۴	۲-۲-۳	آشنایی با تقارن‌های مجانبی
۱۱۰	۳-۳	بررسی تقارن‌های مجانبی گرانش سه‌بعدی در فضای مجانباً پاددوسیته
۱۱۰	۱-۳-۳	هندسه‌ی فضای مجانباً پاددوسیته و شناختِ این فضا از نزدیک‌تر
۱۱۳	۲-۳-۳	بردارهای کیلینگ فضای پاددوسیته‌ی سه‌بعدی
۱۱۵	۳-۳-۳	شرایطِ مرزی Brown-Henneaux

۴-۳-۳	میدان‌های برداری کیلینگ مجانبی فضای پاددوسیه‌ی سه‌بعدی	۱۱۷
۵-۳-۳	متریک‌های Brown-Henneaux	۱۱۹
۶-۳-۳	بارهای سطحی و جبر ویراسورو	۱۲۱
۷-۳-۳	حل مدهای صفر	۱۲۳
۴-۳	گران‌ش سه‌بعدی اینشتینی در فضای مجانب تخت	۱۲۴
۱-۴-۳	مختصات BMS در فضای سه‌بعدی تخت	۱۲۵
۲-۴-۳	بردارهای کیلینگ فضای مینکوفسکی	۱۲۶
۳-۴-۳	تقارن پوانکاره در آینده‌ی نورگونه	۱۲۷
۴-۴-۳	تبدیلات پوانکاره در آینده‌ی نورگونه	۱۲۹
۵-۴-۳	شرط افت BMS و تقارن‌های مجانبی	۱۳۰
۶-۴-۳	بردارهای کیلینگ مجانبی فضای مجانب تخت سه‌بعدی	۱۳۱
۷-۴-۳	متریک‌های BMS	۱۳۴
۸-۴-۳	بارهای سطحی و معرفی جبر bms_3	۱۳۵
۹-۴-۳	جبر بارهای سطحی	۱۳۶
۱۰-۴-۳	حل‌های مد صفر	۱۳۷
۴	توابع پارش گران‌ش سه‌بعدی مجانب پاددوسیه	۱۳۹
۱-۴	جواب‌های کلاسیکی سهیم در انتگرال مسیر گران‌شی	۱۴۱
۱-۱-۴	دسته‌بندی جواب‌های کلاسیک	۱۴۱
۲-۱-۴	ساخت هندسه‌های هموار نیمه کلاسیک	۱۴۵
۳-۱-۴	شناخت هندسی خمینه‌های $M_{c,d}$	۱۴۸
۲-۴	محاسبه‌ی تابع پارش روی $M_{c,d}$	۱۵۰
۱-۲-۴	استدلال مربوط به تابع پارش گران‌شی $M_{0,1}$	۱۵۳

۱۵۵	۲-۲-۴ محاسبه‌ی جمع روی هندسه‌های $M_{c,d}$
۱۵۹	۳-۲-۴ جمع روی مدهای $\hat{n} = 0$
۱۶۳	۴-۲-۴ مدهای $\hat{n} \neq 0$
۱۶۴	۳-۴ تحلیل پیشامدهای احتمالی
۱۶۴	۱-۳-۴ پیشامد اول: ریسمان‌های کیهانی
۱۶۵	۲-۳-۴ پیشامد دوم: جمع روی دو هندسه
۱۶۷	۳-۳-۴ ”دیدن” هندسه‌های غیرکلاسیک
۱۶۸	۴-۴ آنتروپی سیاهچاله و تصحیحات وارده به آن

۵ نتیجه‌گیری ۱۷۲

آ مقدمات ریاضی ۱۷۴

۱۷۴	۱-آ گروه و جبر لی
۱۷۶	۲-آ نگاشت‌نمایی
۱۷۶	۳-آ نمایش الحاقی و نمایش هم‌الحاقی
۱۷۷	۴-آ ساختار پواسون
۱۷۹	۵-آ ساختارهای هم‌تافته
۱۸۰	۶-آ ساختارهای Kirillov-Kostant
۱۸۲	۷-آ فرم هم‌تافته‌ی Kirillov-Kostant
۱۸۲	۸-آ نگاشت‌های مومنتوم
۱۸۲	آ-۸ اثرهای گروه‌های لی و مولدهای بی‌نهایت کوچک
۱۸۳	آ-۸-۲ نگاشت مومنتوم
۱۸۴	آ-۸-۳ قضیه نوتر
۱۸۴	آ-۸-۴ نگاشت مومنتوم برای مدارهای هم‌الحاقی

۱۸۶	ب مقدمه‌ای بر مدل SYK
۱۸۶	ب-۱ معرفی مدل SYK
۱۸۹	ب-۲ ویژگی‌های کلی مدل SYK
۱۹۰	ب-۳ تحلیل مدل در سطح کوانتومی
۱۹۴	ب-۴ حد انرژی پایین و پدیداریِ تقارنِ هم‌مدیس
۱۹۴	ب-۵ تبدیل به کنش شوارتزی در حد $N \rightarrow \infty$
۱۹۵	پ فضای مازولی رویه‌های ریمانی
۱۹۸	ت فرمول بندی مرتبه اول گرانش اینشتینی
۲۰۲	ث مقدمه‌ای کوتاه بر نظریه‌های Chern-Simons و WZW
۲۰۲	ث-۱ نظریه‌ی Chern-Simons
۲۰۳	ث-۲ نظریه‌ی WZW
۲۰۴	ث-۲-۱ مدل سیگمای غیرخطی
۲۰۶	ث-۲-۲ افزودن جمله‌ی Wess-Zumino
۲۰۸	ج جمله‌ی مرزی گیبونز-هاوکینگ-یورک در کنش اینشتین-هیلبرت
۲۰۹	ج-۱ وردش کنش و ساده کردن جمله مرزی
۲۱۲	ج-۲ وردش جمله گیبونز-هاوکینگ-یورک و اضافه کردن آن به کنش اصلی

فهرست تصاویر

- ۱-۲ طرح هندسی فضا زمان رایسنر-نوردستروم که به شکل همواری فضای مجانباً تخت مینکوفسکی را به گلوگاه $AdS_2 \times S^2$ نزدیک افق وصل می‌کند. در حد $Q \rightarrow M$ ، شعاع پاددوسیته به بی‌نهایت میل می‌کند. (عکس از [۲] برداشته شده). ۱۵
- ۲-۲ نمایشی از یک برش خاص از فضای پاددوسیته‌ی دوبعدی. در این کاشی‌کاری خاصی از این فضا، جفت‌های شیطان-فرشته مساحت یکسانی دارند؛ این نقاشی از کارهای موریس اشر است. (عکس از [۲] برداشته شده). ۲۵
- ۳-۲ نمودار پنروز فضای پاددوسیته‌ی دوبعدی به همراه نواحی مختلفی که هر مختصات می‌پوشانند. (عکس از [۲] برداشته شده). ۲۶
- ۴-۲ اثر تزریق انرژی به گرانش کوانتومی دو بعدی: (a) در حالت اولیه (b) با خروج انرژی از سامانه، خم‌مرزی به داخل جمع می‌شود. (c) با تزریق انرژی، خم‌مرزی به سمت مرز تمام‌نگار متمایل می‌شود. (عکس از [۲] برداشته شده). ۳۷
- ۵-۲ برش نیم‌صفحه بالایی پوانکاره $Z > 0$ ، برای مشخص کردن خم مرزی. (عکس از [۲] برداشته شده). ۴۵
- ۶-۲ تصویر سمت چپ نمایش دایره‌ی مرزی در مختصات سیاه‌چاله است. تصویر سمت راست، تیک‌های ساعت مرزی را نشان می‌دهد. توجه کنید که تعداد تیک‌های ساعت با β مشخص می‌شود، اما پراکندگی آن و فواصل نسبی در روی خم بستگی به شکل خم دارد. (عکس از [۲] برداشته شده). ۴۸
- ۷-۲ نمایش نموداری عملگر دومحلی. بعدِ همدیسِ عملگر مرزی Δ با جرم میدان نرده‌ای در تناظر است. ۵۹

- ۸-۲ تابع چهارنقطه‌ای مرزی در گرانش کوانتومی JT در کانال‌های مختلف. ۶۰
- ۹-۲ تابع چهارنقطه‌ای متقاطع در گرانش JT با نمایش تصویری قرارداد شده. بعدِ همدیس عملگرهای روی مرز به ترتیب Δ_1 و Δ_2 است. (عکس از [۲] برداشته شده). ۶۳
- ۱۰-۲ پربند C برای انتگرال‌گیری در بدست‌آوردن دامنه‌ی A_{cross} . (عکس از [۲] برداشته شده). ۶۳
- ۱۱-۲ نظریه میدان همدیس لیوویل بین دو غشای ZZ در حد دومقیاسه. عملگرهای درج شده با رنگ قرمز نشان داده شده‌اند. (عکس از [۲] برداشته شده). ۷۱
- ۱۲-۲ ضریب شکل طیفی برای یک نظریه آشوبناک. داده‌های متوسط‌گیری شده با خط قرمز نشان داده شده‌اند. (عکس از [۲] برداشته شده). ۷۵
- ۱۳-۲ رویه‌ای ریمانی سمت چپ قابل شکستن به رویه‌ی ریمانی سمت راست است؛ نقطه‌های قرمز روی چنبره‌ی وسطی نمایانگر سوراخ هستند. آیا فیزیک این دو رویه‌های ریمانی هم معادل است؟ ۷۶
- ۱۵-۲ رویه‌ی ریمانی شکل ۲-۴-۲ به چهار شلوار تقسیم شده که با ۶ استوانه به هم متصل می‌شوند. ۷۹
- ۱۶-۲ نمایش مختصات‌های فنچل-نیلسن در تجزیه‌ی شلواری. هر کدام از b_i طول ژئودزیک مرزهایی هستند که با دایره‌ی نقطه‌چین قرمز مشخص شده‌اند. پارامتر پیچش τ_i هم مشخص می‌کند که پیش از همسان‌شدن این دایره‌ها، چقدر آن‌ها را نسبت به هم بچرخانیم. ۸۰
- ۱۷-۲ دو سهم به $Z_{0,2}(\beta_1, \beta_2)$ داریم. سهم غیرهمبند دوقرصی در چپ و سهم ترومپت در راست. ۸۰
- ۱۸-۲ پارامترهای یک متریک دلخواه روی یک ترومپت دوتا هستند؛ یکی b که طول مرز ژئودزیک در $r = 0$ است و دیگری پارامتر پیچش که در این شکل با τ مشخص شده است. همچنین توجه کنید که در حد $r \rightarrow \pm\infty$ به مرزهای ژئودزیک (یعنی مرزهای تمام‌نگار فضا زمان) می‌رسیم. ۸۱

- ۱۹-۲ یک ترومپت را به دو ترومپت می‌شکانیم و در قدم‌نهایی، باید آنها را با انتگرال‌گیری به هم بچسبانیم. انتگرال‌گیری روی پارامترهای مازولی b و τ انجام می‌گیرد. ۸۱
- ۲۰-۲ همواره می‌توانیم خم‌های بسته‌ای متعلق به همان کلاس همولوژی مرزهای ژئودزیک پیدا کنیم. در این رویه‌ی هذلولوی با $g = 1$ و $n = 3$ ، سه دایره‌ی مشخص شده با خط‌چین در همان کلاس همولوژی مرز ژئودزیک مجاور هستند. ۸۳
- ۲۱-۲ طرحی از ژئودزیک‌های پرتاب شده از یک مرز ژئودزیک یک رویه‌ی هذلولوی. این ژئودزیک‌های پرتاب شده به ما در شناخت خواص رویه و همچنین فضای مازولی رویه‌های هذلولی کمک می‌کنند. ۸۴
- ۲۲-۲ انواع اتفاقاتی که ممکن است برای یک ژئودزیک که از مرز پرتاب می‌شود، بیفتد. در دوشکل سمت چپ، حالت (آ) را می‌بینیم. یعنی ژئودزیک به مرز اولیه بازگشته یا در میانه‌ی راه خود را قطع کرده است. در شکل سمت راست و بالا، حالت (ب) رخ داده، یعنی ژئودزیک با شروع از یک مرز، به مرز دیگر ختم شده. آخرین حالت هم وقتی است که ژئودزیک سرگردان باشد و در رویه‌ی هذلولی بچرخد بدون آنکه خود را قطع کند یا به مرزهای ژئودزیک برسد. ۸۵
- ۲۳-۲ شمایی از انواع تجزیه‌ای ممکن یک رویه‌ی هذلولوی به کمک ژئودزی‌هایی که از مرز ژئودزیک پرتاب می‌شوند. ۸۶
- ۱-۳ تبدیلات پیمانه‌ای به سه‌دسته تقسیم می‌شوند. تبدیلات بدیهی تبدیلاتی هستند که شرطِ افت میدان را برآورده می‌کنند و حالت سیستم را عوض نمی‌کنند. تبدیلات غیربدیهی، فقط شرطِ افت را برآورده می‌کنند و حالت سیستم را عوض می‌کنند. تبدیلات ممنوع هم شرطِ افت را برآورده نمی‌کنند و به همین خاطر تقارن نظریه خوانده نمی‌شوند. ۱۰۸
- ۲-۳ جانشانی فضای AdS_3 در $\mathbb{R}^{2,2}$. همانطور که می‌بینید، دایره‌های واقع شده روی صفحه‌ی $x = cte$ خم‌های بسته‌ی زمان‌گونه هستند. ۱۱۱

- ۳-۳ فضای پوششی AdS_3 که با \mathbb{R}^3 وابرسان است. مختصه‌ی زمان در راستای محور استوانه است و مختصه‌ی r در راستای شعاع استوانه تعریف شده است. همچنین، مختصه‌ی φ ، 2π -متناوب است. استوانه‌ی واقع شده در $r \rightarrow \infty$ یک استوانه‌ی زمان‌گونه است که با مختصات‌های (r, φ) تنیده می‌شود. ۱۱۳
- ۴-۳ طیف جوابهای گرانش مجانباً پاددوسیته با شرط مرزی Brown-Henneaux. می‌بینیم که فضای پاددوسیته‌ی خالی با یک شکاف جرمی از پیوستار سیاهچاله‌ها جدا شده است. و نواحی $|J| \geq \ell M$ سانسور کیهانی شده‌اند. ۱۲۴
- ۵-۳ نمودار پنروز مختصات BMS. x ، مختصه‌ی زمانی است و u مختصه‌ی عقب‌افتاده‌ی BMS هستند. ۱۲۶
- ۶-۳ نمایی از دایره‌ی سماوی در زمان u روی نمودار پنروز فضازمان مینکوفسکی. ۱۲۸
- ۷-۳ جواب‌های مدصفر گرانش مجانباً تخت با شرط افت BMS. جواب مینکوفسکی خلا با نقطه‌ی قرمز رنگ مشخص شده است. نواحی $M > 0$ جواب‌هایی با تفسیر کیهان‌شناختی هستند که مجانباً تخت‌اند. کاستی‌های مخروطی برای $-c_2/24 < M < 0$ رخ می‌دهد و فزونی مخروطی برای $M < -c_2/24$. این شکل را می‌توانیم حدِ تخت شکل ۴-۳ هم ببینیم، چون که در حد $\ell \rightarrow \infty$ شیب خط‌های $\ell M = \pm J$ در صفحه‌ی (J, M) صفر می‌شود. ۱۳۸
- ۱-۴ چنبره‌ای که توصیف‌کننده‌ی مرز همدیس فضازمان است. خمینه‌ی M فضای داخلی این چنبره به همراه مرزش است. ۱۴۲
- ۲-۴ هندسه‌ی مذکور علاوه بر مرز همدیس، یک نقص دارد و بنابراین توپولوژی مرز همدیس آن مثل چنبره نیست و درحقیقت مثل صفحه است. ۱۴۶
- ۳-۴ حلقه‌هایی که در اطراف نقطه‌ی $u = \infty$ هستند، می‌تواند به طول دلخواهی نزدیک به صفر برسند و این حلقه‌های زیرپلانکی، در مسئله‌ی فیزیکی بعداً مشکل‌ساز خواهند شد. ۱۴۷
- ۴-۴ ساخت چنبره از کاشی‌کاری صفحه‌ی مختلط w با پارامتر خشتی τ . تمام ناحیه‌های متوازی‌الاضلاعی به تحت همسان‌سازی به ناحیه‌ی آبی رنگ نگاشته می‌شوند و فلش‌های خاکستری دوسر، رنگ اضلاعی که با هم یکسان می‌شوند را نشان می‌دهد. ۱۴۸

- ۴-۵ ساخت خمینه $M_{c,d}$: اول در $t = 0$ و $t = 2\pi \text{Im}\tau$ ، استوانه‌ی طویلِ فضا زمان را می‌بریم و سپس نقاط روی دایره‌های مرز را با چرخش $\theta = 2\pi \text{Re}\tau$ همسان می‌کنیم. در شکل، نقطه‌ی قرمز در دایره‌ی بالا و پایینی با هم همسان می‌شوند و پس از انجام همسان‌سازی، روی چنبره نشان داده شده‌اند. ۱۴۹
- ب-۱ نمودار سمت چپ، چگالی حالات برای $q = 2$ است و نمودار سمت راست برای $q = 4$. هر دوی این طیف‌ها برای $N = 20$ بدست آمده‌اند. ۱۸۹
- ب-۲ سهم قورباغه‌ای به انتشارگر فرمیونی در مدل SYK. ۱۹۱
- ب-۳ سهم هندوانه‌ای به انتشارگر فرمیونی در مدل SYK. ۱۹۱
- ب-۴ سهم مرتبه‌ی J^4 به انتشارگر فرمیونی در مدل SYK - نوع (۱) ۱۹۲
- ب-۵ سهم مرتبه‌ی J^4 به انتشارگر فرمیونی در مدل SYK - - نوع (۲) ۱۹۲
- ث-۱ میدان‌ها در یک مدل سیگمای غیرخطی، نگاشتهایی از فضای تخت به یک خمینه هدف هستند. ۲۰۴
- ج-۱ نمایی از خمینه‌ی سه‌بعدی Σ با مرز فشرده‌ی $\partial\Sigma$ که متریک داخل توده و مرز آن به ترتیب $g_{\mu\nu}$ و h_{ab} است. ۲۱۰

فصل ۱

مقدمه

گرانث کوانتومی در ابعاد پایین، مانند دو و سه بعد، اهمیت ویژه‌ای در فیزیک نظری دارد زیرا این مدل‌ها به عنوان آزمایشگاه‌هایی ساده‌تر برای درک ویژگی‌های گرانث کوانتومی عمل می‌کنند. این مدل‌ها به ما امکان می‌دهند ساختارهای ریاضی و دینامیک‌های پیچیده نظریه گرانث کوانتومی را بررسی کنیم و مفاهیمی مانند سیاهچاله‌ها، انتروپی و هم‌چنین تقارن‌ها را به زبان ساده‌تر و ملموس‌تری مطالعه نماییم. محتوای این پایان‌نامه به این شکل است.

با مدل‌های دوبعدی دیلاتونی شروع می‌کنیم؛ می‌دانیم که گرانث دوبعدی، بدون دیلاتون، از لحاظ ساختاری و حتی مفهومی نسبتاً بی‌محتواست. پس، به‌مدل گرانث JT می‌پردازیم. در سطح کلاسیک به این مدل نگاه می‌کنیم و نگاهی به انگیزه‌های بررسی این مدل، حل‌های کلاسیک و ارتباطش با نظریه مکانیک کوانتومی شوارتزی^۱ می‌کنیم. در سطح کوانتومی هم بررسی‌مان را پیش می‌بریم. اول از دیدگاه اختلالی و در سطح تک حلقه این نظریه را بررسی می‌کنیم و سپس توابع همبستگی دو و چهار-نقطه‌ای را صرفاً نقل می‌کنیم؛ به‌دست آوردن این توابع چندنقطه‌ای نیاز به ابزارهای پیشرفته‌تر دارند که به مراجع مناسب‌شان ارجاع داده‌ایم. در آخر هم نگاهی به سهم‌های کرم‌چاله‌ای می‌اندازیم و اهمیت حضورشان را درک می‌کنیم.

بحث‌مان در مورد گرانث سه‌بعدی را با نگاهی به دوگانی این نظریه با مدل Chern-Simons آغاز می‌کنیم و این دوگانی را در سطح کنش کلاسیک نگاه می‌کنیم. در نظریه‌های پیمانه‌ای، آن‌چه که مهم است شرایط افت میدان‌های پیمانه‌ای است، چرا که این شرایط افت فیزیک مسئله را تعیین می‌کنند. با انتخاب

^۱ این نظریه، تحت تقارن $SL(2, \mathbb{R})$ ناورد است.

شرایطِ افتِ Brown-Henneaux برای فضای مجانباً پاددوسیه و هم‌چنین شرطِ افتِ BMS برای فضای مجانباً تخت، به بررسیِ تقارن‌های مجانبی می‌پردازیم. می‌بینیم که این شرطِ افت برای فضای مجانباً پاددوسیه، راهنمایی به دوگانی پیمانه/گرانش است؛ نتیجه‌ای که حدود ده سال پیش از بیانِ این دوگانی به زبانِ مدرن گرفته شد. همین‌طور می‌بینیم که گروه تقارن‌های پیمانه‌ای فضای تخت هم گروهِ توسعه‌ی مرکزی یافته‌ی گروه پوانکاره، یعنی گروهِ BMS_3 است.

درنهایت، به بررسیِ توابع پارش گرانش خالی پاددوسیه می‌پردازیم و نقایصِ احتمالی این نظریه‌ی گرانشِ کوانتومی را برمی‌شماریم. راه‌های احتمالی را تحتِ عنوان پیشنهاد برای اصلاحِ نظریه گرانش خالی در فضای پاددوسیه مطرح می‌کنیم.

در ضمیمه‌ها هم مقدمات ریاضیِ مباحث مطرح‌شده، ارتباط گرانش دوبعدی JT با مدل SYK در حدِ انرژی پایین و برخی پیش‌نیازهای مطالبِ داخل پایان‌نامه را بررسی می‌کنیم.

فصل ۲

مدل گرانس دوبردی Jackiw-Teitelboim

در اولین بخش، به بررسی مدل گرانس دوبردی و حل پذیر Jackiw-Teitelboim می پردازیم. در سال ۱۹۸۴، رومن جکیو و کلود تایتلبوم^۱ به طور مستقل گرانس JT را توسعه دادند. JT یک مدل نظری دوبردی از گرانس است که اخیراً در مطالعات مربوط به گرانس کوانتومی و فیزیک سیاهچاله ها مورد توجه قرار گرفته است. با وجود سادگی و حل پذیری آن، گرانس JT ویژگی های اساسی دینامیک گرانسی را به تصویر می کشد و به همین دلیل ابزاری ارزشمند برای بررسی مفاهیم پیچیده در یک چارچوب قابل مدیریت تر به شمار می رود.

یکی دیگر از ویژگی های گرانس JT، کمک به پیش بینی رفتار سیاهچاله ها است؛ به ویژه در زمینه ترمودینامیک و ویژگی های کوانتومی آنها. این مدل به عنوان یک چارچوب ساده شده برای درک متناقض نمای اطلاعات و ماهیت آنتروپی در سامانه های شامل سیاهچاله استفاده می شود. همچنین، گرانس JT، در حد انرژی پایین، ارتباط عمیقی با مدل SYK، که مدل برهمکنشی فرمیونی حل پذیری است، دارد و در مطالعه آشوب کوانتومی و تمام نگاری اهمیت زیادی دارد. این ارتباط باعث پیشرفت هایی در دوگانی AdS/CFT شده است و یک چارچوب پایین تر برای بررسی دوگانگی بین گرانس و نظریه های میدان کوانتومی فراهم می کند.

در کاربرد، گرانس JT برای بررسی دینامیک سیاهچاله های نزدیک به حالت های فرینه و ظهور فضا-زمان از درهم تنیدگی کوانتومی استفاده می شود. از این مدل برای آزمایش ایده های مربوط به تصحیحات

¹R. Jackiw and C. Teitelboim

کوانتومی در گرانش کلاسیک و بررسی تعامل بین هندسه و مکانیک کوانتومی بهره برده می‌شود. افزون بر این، گرانش JT با نظریه‌ی ماتریس‌های تصادفی هم پیوندهایی دارد که پلی میان سیستم‌های گرانشی و مکانیک آماری ایجاد می‌کند. تمامی این ارتباط‌ها و کاربردها، درک ما از فیزیک بنیادی را غنی‌تر و کامل‌تر می‌سازد.

۱-۲ نگاهی به مدل‌های گرانشی دیلاتونی

از کلی‌ترین کنش گرانشی دویبعدی تک‌میدانه، که در آن حداکثر مشتقات دوم میدان دیلاتونی وجود دارد، شروع می‌کنیم. در نشانگان اقلیدسی، کنش به این شکل است

$$I = -\frac{1}{16\pi G_N} \int_{\mathcal{M}} d^2x \sqrt{g} \left(U_1(\tilde{\Phi}) R + U_2(\tilde{\Phi}) g^{\mu\nu} \partial_\mu \tilde{\Phi} \partial_\nu \tilde{\Phi} + U_3(\tilde{\Phi}) \right), \quad (1-1-2)$$

که $g^{\mu\nu}$ متریک دویبعدی و $\tilde{\Phi}$ میدان دیلاتونی است.

اگرچه در نگاه اول، کنش (۱-۱-۲) با سه تابع $U_1(\tilde{\Phi})$ ، $U_2(\tilde{\Phi})$ و $U_3(\tilde{\Phi})$ پارامتربندی می‌شود، اما دوتا از این توابع اضافی هستند؛ یعنی می‌توانیم آنها را با بازتعریف میدان و بازمقیاس متریک حذف کنیم. اول از همه، با بازتعریف $\tilde{\Phi} \rightarrow \Phi = U_1(\tilde{\Phi})$ می‌توانیم جفتیدگی میدان دیلاتونی به اسکالر ریچی را خطی کنیم^۲. در مرحله‌ی بعد، با یک تبدیل وایل می‌توانیم $U_2(\tilde{\Phi})$ را هم کاملاً حذف کنیم؛ یعنی عملاً میدان دیلاتونی را در تئوری دلخواه، بدون جمله‌ی جنبشی بنویسیم.

می‌دانیم که تحت یک بازمقیاس موضعی، اسکالر ریچی به شکل زیر تبدیل می‌شود.

$$g'_{\mu\nu} = e^{2\omega} g_{\mu\nu}, \quad \sqrt{g} R \rightarrow \sqrt{g'} R' = \sqrt{g} (R - 2\nabla^2 \omega) \quad (2-1-2)$$

به سادگی و با انتخاب $\omega(x) = \frac{1}{2} \int^{\Phi(x)} \tilde{U}_2(\Phi') d\Phi'$ می‌توانیم جمله‌ی جنبشی را در کنش (۱-۱-۲) حذف کنیم.

حذف جمله‌ی جنبشی از کنش با تبدیل وایل

^۲ توجه کنید که این بازتعریف همیشه معتبر نیست؛ تنها هنگامی این تبدیل معکوس‌پذیر است که مقدار $U'_1(\tilde{\Phi}) \neq 0$ باشد. در غیر این صورت، نمی‌توانیم جمله‌ی جنبشی را برحسب میدان‌های جدید بازنویسی کنیم.

در این جا، منظور ما از $\check{U}_\Psi(\Phi)$ ، تابع اولیه‌ی $U_\Psi(\Phi)$ است. کافی است مشتقات را روی ω اثر دهیم:

$$\begin{aligned}\omega(x) &= \frac{1}{\Psi} \int^{\Phi(x)} \check{U}_\Psi(\Phi') d\Phi' \\ \nabla_\mu \omega(x) &= \frac{1}{\Psi} \nabla_\mu \int^{\Phi(x)} \check{U}_\Psi(\Phi') d\Phi' = \frac{1}{\Psi} \nabla_\mu \Phi \check{U}_\Psi(\Phi) \\ \nabla^\mu \nabla_\mu \omega(x) &= \frac{1}{\Psi} \nabla^\mu \Phi \check{U}_\Psi(\Phi) + \frac{1}{\Psi} \nabla^\mu \Phi \nabla_\mu \Phi \underbrace{\check{U}'_\Psi(\Phi)}_{U_\Psi(\Phi)}\end{aligned}\quad (۳-۱-۲)$$

شیوه‌ی اثردهی مشتقات، روی این انتگرال، دقیقاً مثل قضیه‌ی اساسی حساب دیفرانسیل است؛ یعنی با رابطه‌ی زیر

$$\frac{d}{dt} \int_{f(x)}^{g(x)} H(x, t) dt = g'(x) H(x, g(x)) - f'(x) H(x, f(x)) + \int_{f(x)}^{g(x)} \frac{\partial H(x, t)}{\partial x} dt.$$

جمله‌ی اول (۳-۱-۲) اگرچه به نظر اضافی است، اما با انتگرال‌گیری جزء به جزء، می‌توان مشتقات را روی پتانسیل $\check{U}_\Psi(\Phi)$ انداخت و به آن به چشم یک جمله‌ی پتانسیل جدید نگاه کرد که در $U_\Psi(\Phi)$ در (۱-۱-۲) جذب می‌شود. جمله‌ی دوم دقیقاً همان چیزی است که با جاگذاری در (۲-۱-۲)، جمله‌ی جنبشی میدان دیلاتونی را حذف می‌کند.

درنهایت، چیزی که باقی می‌ماند، این کنش است:

$$I[g, \Phi] = -\frac{1}{16\pi G_N} \int_{\mathcal{M}} d^2x \sqrt{g} \left(\Phi R + U(\Phi) \right), \quad (۴-۱-۲)$$

که تنها با یک پارامتر، یعنی با پتانسیل دیلاتونی $U(\Phi)$ پارامتربندی شده است.

برخی نکات در مورد گرانیش دیلاتونی دوبعدی:

۱. این تقلیل کنش، که در بالا دیدیم، در سطح کلاسیک انجام شد؛ کاهشهایی مثل این، لزوماً در سطح کوانتومی قابل انجام نیستند؛ علی‌الخصوص وقتی بعداً قرار است به ترمودینامیک مدل‌های حاصل نگاه کنیم، اغلب جملات سطحی انتگرال برایمان اثرات غیربدهی ایجاد می‌کنند.

۲. الان مدل‌هایی که حاصل ضرب دو مشتق دیلاتون در آن حضور داشت بررسی شد؛ می‌توان به کنش در حضور مشتقات بیشتر را هم نگاه کرد. با یک بررسی سطحی می‌توان فهمید که ثابت جفتیدگی این مدل‌ها باید بعد طول داشته باشد؛ یعنی این مدل‌ها بازبهنجارناپذیر هستند. البته در دوبعد که متریک هیچ درجه‌آزادی موضعی ندارد، بازبهنجارپذیری هیچ مشکلی ندارد.^۳

^۳یادمان هست که برای رفع مشکل بازبهنجارش‌ناپذیری، باید جملاتی به کنش اضافه کنیم که در هر مرتبه‌ی اختلال،

۳. میدان دیلاتونی، یک ثابت نیوتون وابسته به فضازمان معرفی می‌کند:

$$G_{\text{eff}} = \frac{G_N}{\Phi(x)} \quad (۵-۱-۲)$$

که برای توصیف فیزیکی معادلات حرکت، لازم است که این ثابت همواره مثبت بماند.

۲-۲ گرانج JT کلاسیک

مدل گرانجی Jackiw-Teitelboim، همان مدل (۴-۱-۲) است که در آن پتانسیل دیلاتونی خطی است؛ یعنی $U(\Phi) = -\Lambda\Phi$ انتخاب شده است.

$$I_{\text{JT}}^{\Lambda}[g, \Phi] = -\frac{1}{16\pi G_N} \int_{\mathcal{M}} \sqrt{g} \Phi (R - \Lambda) \quad (۱-۲-۲)$$

در این معادله، Λ ثابت کیهان‌شناختی مدل است. برای فضازمان پاددوسیه (AdS)، ثابت کیهان‌شناختی را $\Lambda = -2/L^2$ می‌گیریم. با انتخاب $L = 1$ ، کنش مدل مان با اندکی اصلاحات به این شکل است:

$$I_{\text{JT}}[g, \Phi] = -\frac{1}{16\pi G_N} \int_{\mathcal{M}} \sqrt{g} \Phi (R + 2) - \frac{1}{8\pi G_N} \oint_{\partial\mathcal{M}} \sqrt{h} \Phi (K - 1) \quad (۲-۲-۲)$$

برای خمینه‌های مرزدار، جمله‌ی مرزی گیونز-هاوکینگ-یورک در این کنش مستقیماً نوشته شده و همچنین پادجمله‌ی (۱-) هم برای متناهی شدن کنش در فضاهای مجانباً پاد دوسیه افزوده شده است.

همچنین در ادامه می‌بینیم که افزودن جمله‌ی توپولوژیک هم به این کنش مهم است؛ پس کنشی که در کل این بخش به بررسی‌اش می‌پردازیم، این است:

$$I[g, \Phi] = -S_{\chi} + I_{\text{JT}}[g, \Phi] \quad (۳-۲-۲)$$

که مشخصه‌ی اوایلر به شکل زیر معرفی شده است:

$$\chi = \frac{1}{4\pi} \int_{\mathcal{M}} \sqrt{g} R + \frac{1}{4\pi} \oint_{\partial\mathcal{M}} \sqrt{h} K. \quad (۴-۲-۲)$$

جمله‌ی توپولوژیک، تحت وردش متریک تغییری نمی‌کند و مقدارش دقیقاً برابر مشخصه‌ی اوایلر فضا است. می‌توان آن را به چشم افزودن یک عدد ثابت به کنش نگاه کرد، یعنی میدان دیلاتونی در کنش $I_{\text{JT}}[g, \Phi]$ به شکل $\Phi(x) \rightarrow \Phi(x) + S_{\chi}$ منتقل شود، جمله‌ی توپولوژیک بدست می‌آید؛ که $S_{\chi} = \frac{\Phi_{\chi}}{4G_N}$.
 دیاگرام‌های واگرا را خنثی کند. اما به شکلی استثنایی در دو بعد، چون متریک درجه‌آزادی موضعی ندارد، کنش آن کاملاً توپولوژیک است و در دیاگرام‌ها مشکل واگرایی رخ نمی‌دهد.

۱-۲-۲ انگیزه: سیاهچاله‌های نزدیک به فرینه

یک انگیزه‌ی قوی برای مطالعه‌ی مدل دوبعدی JT این است که فیزیک نزدیک افق رویداد سیاهچاله‌های بعد بالای نزدیک به فرینه را توصیف می‌کند. بیاید برای ساده‌ترین سیاهچاله‌ی چهاربعدی، این گزاره را ببینیم؛ یعنی حد نزدیک افق سیاهچاله‌ی رایسنر-نوردشتروم در گرانش اینشتینی جفت شده به میدان الکترومغناطیسی را بررسی کنیم.

$$S = \frac{1}{16\pi G_N^{(4)}} \int d^4x \sqrt{-g} (R - F^2) + S_{\text{bdy}} \quad (5-2-2)$$

متریک فضازمان رایسنر-نوردشتروم که جواب این معادله است، به شکل زیر است.

$$ds^2 = -f(r)dr^2 + \frac{dr^2}{f(r)} + r^2 d\Omega^2, \quad f(r) = 1 - \frac{2M}{r} + \frac{Q^2}{r^2} \quad (6-2-2)$$

آشنایی مختصر با سیاهچاله‌ی رایسنر-نوردشتروم

میدان الکترومغناطیسی حاصل از این جواب، تنها مولفه‌ی شعاعی میدان الکتریکی دارد که متناسب با بار Q است و به شکل عکس مجذوری افت می‌کند. افق‌های این سیاهچاله در $r_{\pm} = M \pm \sqrt{M^2 - Q^2}$ واقع شده‌اند و دمای هاوکینگ آن $T = |f'(r_+)|/4\pi$ است. حد نزدیک فرینه، مربوط به وقتی است که $M \sim |Q|$ و بنابراین، افق‌های بیرونی و درونی بسیار به هم نزدیک می‌شوند.

بیاید هندسه‌ی نزدیک به افق را در سیاهچاله‌ی نزدیک به فرینه بررسی کنیم. به‌خاطر نزدیک بودن به حالت فرینه، کمیت $\Delta M \equiv M - Q$ را بسیار کوچک می‌گیریم؛ و برای بررسی هندسه نزدیک افق، شعاع را به شکل $r = Q + Q\tilde{r}$ می‌نویسیم. حالا متریک (۵-۲-۲) را در این دو حد بازنویسی می‌کنیم.

اول از همه بایستی $f(r)$ را در این حدها بازنویسی کرد:

$$\begin{aligned} f(r) &= 1 - \frac{2\widehat{M}^{Q+\Delta M}}{Q} (1 + Q\tilde{r})^{-1} + \frac{Q^2}{Q^2} (1 + Q\tilde{r})^{-2} \\ &= 1 - 2\left(1 + \frac{\Delta M}{Q}\right) (1 - Q\tilde{r} + Q^2\tilde{r}^2) + (1 - 2Q\tilde{r} + 3Q^2\tilde{r}^2) \\ &= 1 - 2 - 2\frac{\Delta M}{Q} + 2Q\tilde{r} - 2Q^2\tilde{r}^2 + 1 - 2Q\tilde{r} + 3Q^2\tilde{r}^2 + \mathcal{O}(Q^3\tilde{r}^3) \\ &= -2\frac{\Delta M}{Q} + Q^2\tilde{r}^2 = Q^2\left(\tilde{r}^2 - \frac{2\Delta M}{Q^3}\right) \end{aligned} \quad (7-2-2)$$

از جملاتی که هم شامل \tilde{r} و هم شامل ΔM هستند، صرف نظر کردیم؛ چون هر دوی این کمیت‌های بسیار کوچکند. حالا با جایگذاری در متریک (۲-۲-۵)

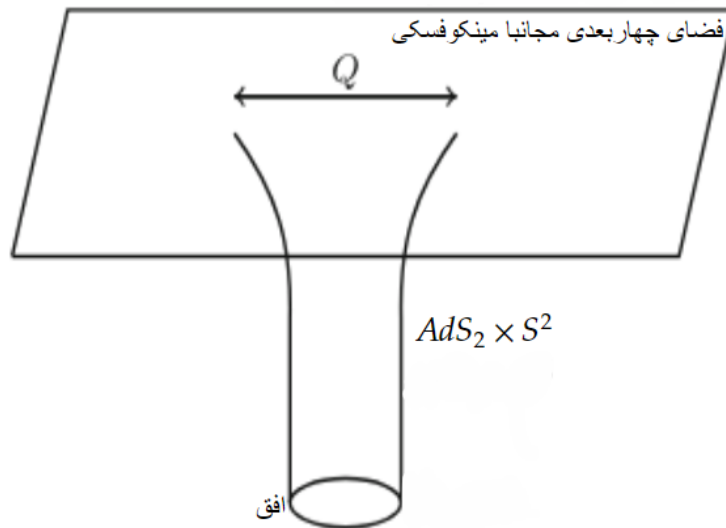
$$ds^2 \approx -Q^2 \left(\tilde{r}^2 - \frac{2\Delta M}{Q^3} \right) dt^2 + \frac{Q^2 d\tilde{r}^2}{\tilde{r}^2 - \frac{2\Delta M}{Q^3}} + Q^2 d\Omega^2 \quad (۲-۲-۸)$$

دو جمله‌ی اول این متریک، متریک فضای پاددوسیته دوبعدی است؛ پس هندسه نزدیک افق این سیاهچاله به شکل $AdS_2 \times S^2$ است؛ که در این مختصات شعاع پاددوسیته و شعاع کره دوبعدی هر دو Q هستند.

با یک بازمقیاس طولی با ضریب Q^{-1} ، بدست می‌آوریم که

$$Q^{-2} ds^2 \approx -(\tilde{r}^2 - r_h^2) dt^2 + \frac{d\tilde{r}^2}{\tilde{r}^2 - r_h^2} + d\Omega^2, \quad r_h = \sqrt{\frac{2\Delta M}{Q^3}}. \quad (۲-۲-۹)$$

طرحی اولیه از این فضازمان در تصویر ۲-۱ آمده است.



شکل ۲-۱: طرح هندسی فضازمان رایسنر-نوردشتروم که به شکل همواری فضای مجانباً تخت مینکوفسکی را به گلوگاه $AdS_2 \times S^2$ نزدیک افق وصل می‌کند. در حد $Q \rightarrow M$ ، شعاع پاددوسیته به بی‌نهایت میل می‌کند. (عکس از [۲] برداشته شده.)

حالا اندکی هم در مورد اختلالات متریک حول حالت فرینه صحبت می‌کنیم.

اختلالات متریک را به شکل زیر پرمایش می‌کنیم:

$$ds^2 = \frac{1}{\sqrt{\chi}} g_{\mu\nu} dx^\mu dx^\nu + \chi (dy^i + A_\mu^{ij} y^j dx^\mu) (dy^i + A_\nu^{ij} y^j dx^\nu) + \dots$$

که سه متغیر y^i اختلالات کره‌ی دوبعدی را پرمایش می‌کنند و $x^\mu = (t, r)$ زمان و شعاع را مشخص

می‌کند. جمله‌هایی که با سه نقطه نشان دادیم؛ مدهای کالوزا-کلاین هستند که به علت کم جرم بودن^۴ در اختلالات های کوچک تاثیری ندارند^۵.

برای سادگی، در هنگردی از سیاهچاله‌ها با بار ثابت و تکانه‌زاویه‌ای صفر کار می‌کنیم. با جای‌گذاری متریک فوق، کنش اینشتین-ماکسول (۲-۲-۵) به مدل دیلاتونی تقلیل می‌یابد [۷]:

$$S[g, \chi] = \frac{1}{4G_N^{(4)}} \int d^4x (\chi R + U(\chi)) + \dots, \quad U(\chi) = -\frac{2Q^2}{\sqrt{\chi}} + \frac{2}{\sqrt{\chi}}$$

پس اختلالات کوچک متریک از سیاهچاله‌ی رایسنر-نوردستروم همچنان یک مدل گرانیش دیلاتونی است با پتانسیل $U(\chi)$.

اگر از اختلالات کروی دوبعدی صرف‌نظر کنیم و فرض کنیم که مساحت کروی دوبعدی ثابت است، طوری که پتانسیل دیلاتونی جدید صفر می‌شود.

$$U(\chi = \Phi_*) = 0 \longrightarrow \Phi_* = Q^2$$

هندسه‌ی نزدیک به افق در سیاهچاله‌ی نزدیک به حالت فرینه بازیابی می‌شود. پس گرانیش JT وقتی پدیدار می‌شود که ما اختلالات بسیار کوچک حول میدان دیلاتونی χ را نگاه می‌کنیم.

$$\chi(x) = \Phi_* + \Phi(x), \quad \Phi \ll \Phi_*$$

پس تحت این شرایط، نظریه اینشتین-ماکسول در چهاربعد به گرانیش JT نزدیک به افق تقلیل می‌یابد.

$$S[g, \Phi] = \frac{\Phi_*}{4G_N^{(4)}} \int \sqrt{-g} R + \frac{1}{4G_N^{(4)}} \int \sqrt{-g} \Phi (R + 2) + \dots$$

که در آن جملات صرف‌نظر شده، جفتیدگی گرانیش JT به میدان‌های مادی حاضر در نظریه و همچنین مدهای سبک کالوزا-کلاین را نشان می‌دهد.

همچنین، در این چارچوب، توصیف جالبی برای جملاتی که در کنش هستند ارائه می‌دهد. در کنش اولیه (۲-۲-۳)، می‌توانیم پارامتر S_* را با

$$S_* = \frac{\pi \Phi_*}{G_N^{(4)}} = \frac{\pi Q^2}{G_N^{(4)}}$$

^۴ از مرتبه‌ی Q در شعاع پاددوسیه

^۵ این مدهای سبک در پس‌زمینه‌های پاددوسیه مشاهده می‌شوند؛ مثلاً در توصیف نظریه ریسمان نوع IIB در پس‌زمینه $AdS_5 \times S^5$ این مدهای سبک حاضرند.

همسان کنیم. این رابطه، همان آنتروپی بکشتاین-هاوکینگ برای سیاهچاله‌ی رایسنر-نوردشتروم است. در ادامه شواهد بیشتری می‌بینیم که چرا میدان دیلاتونی با آنتروپی همسان شده است.

نکته: سیاهچاله‌ی چهاربعدی رایسنر-نوردشتروم تنها سیاهچاله‌ای نیست که فیزیک نزدیک افقش در حالت نزدیک به فرینه با گرانیش JT توصیف می‌شود. دسته‌ی بزرگی از سیاهچاله‌ها این ویژگی را دارند و به همین دلیل، یعنی جهان‌شمول بودن فیزیک سیاهچاله‌ها در نزدیکی افق و نزدیک به حالت فرینه، مطالعه‌ی جزئی‌تر مدل گرانیش JT برای ما جالب است.

۲-۲-۲ تناظر JT با مدل توپولوژیک BF

در این بخش، فرمول‌بندی مرتبه‌اول گرانیش JT را می‌بینیم. چون متریک دوبعدی، درجه‌ی آزادی موضعی ندارد؛ بنابراین نظریه گرانیش دوبعدی نظریه‌ای است که درجات آزادی آن باید سرتاسری باشد، یا معادل با یک نظریه میدان توپولوژیک است. اینجا می‌بینیم که مدل‌های دوبعدی دیلاتونی، یک نظریه میدان پواسون-سیگما هستند و در مورد خاص گرانیش JT، این مدل به مدل توپولوژیک BF تقلیل می‌یابد. بیاید این تناظر را برای خمینه‌های بسته بررسی کنیم. با شروع از کنش دیلاتونی (۲-۱-۴)، میدان‌های کمکی e_μ^a را به شکل متعارف می‌سازیم:

$$g_{\mu\nu} = e_\mu^a e_\nu^b \delta_{ab} \quad (۱۰-۲-۲)$$

که اندیس‌های a, b صفر و یک هستند. سپس با استفاده از این میدان‌های کمکی، هموستار اسپینی $\omega^{ab} = \omega_\mu^{[ab]} dx^\mu$ را می‌سازیم.

این هموستارها، با شرط بدون پیچش بودن متریک (در نمایش جدیدمان) بدست می‌آیند:

$$de^a + \omega^a_b \wedge e^b = 0 \quad (۱۱-۲-۲)$$

حالا در دو بعد فضازمانی، این روابط را برای تبدیل به نمایش مرتبه‌اول داریم:

$$\omega^{ab} = \epsilon^{ab} \omega,$$

$$d^* x \sqrt{g} = e^* \wedge e^1, \quad (۱۲-۲-۲)$$

$$d^* x \sqrt{g} R = 2 d\omega$$

فصل ۳

نظریه‌ی گرانش سه‌بعدی

با بیان چندین ویژگی از گرانش اینشتینی سه‌بعدی مطالعه‌مان را آغاز می‌کنیم. اگرچه ممکن است که گرانش در ابعاد پایین از واقعیت جهان دور به نظر برسد، اما وجود سیاهچاله، غنای هندسی و توپولوژیک گرانش سه‌بعدی به واقعی‌تر کردن مدل کمک می‌کند. همچنین ابزارهای فراوان در دسترس (مثل دوگانی AdS/CFT ، تفسیرهای گرانش برحسب تئوری‌های پیمانه‌ای و...) در حل مسئله با رهیافت‌های متنوع به ما کمک شایانی می‌کنند. اول می‌بینیم که گرانش سه‌بعدی مجانباً پاددوسیه معادل با نظریه میدان لیوویل روی مرز همدیس استوانه‌ای است. سپس درجات آزادی موضعی این تئوری را بررسی می‌کنیم؛ می‌بینیم که درجه‌ی آزادی موضعی در این گرانش وجود ندارد. سپس شرایط افت را تعریف می‌کنیم، به دسته‌بندی تقارن‌های پیمانه‌ای می‌پردازیم و به مفهوم تقارن‌های مجانبی می‌پردازیم که از نتایج تعریف شرایط افت روی نظریه گرانشی است. در نهایت، در مدل گرانشی مجانباً پاددوسیه، شرایط مرزی $Brown-Henneaux$ را در سطح کلاسیک نگاه می‌کنیم و تقارن ویراسوروی مجانبی ظاهر شده را که از راهنمایی‌های اولیه به سمت تقارن AdS/CFT بوده است، به دست می‌آوریم. هم‌چنین، در فضای مجانباً تخت، شرط افت BMS را معرفی می‌کنیم و مفهوم تقارن مجانبی را برای این فضا زمان هم بررسی می‌کنیم.

۱-۳ دوگانی گرانجِ مجانباً پاددوسیته با نظریه میدان لیوویل

این دوگانی را در سطح کلاسیک، به طور کامل بررسی می کنیم. این بخش نیاز به مقدمات زیادی دارد که درجای مناسب به آن ها ارجاع داده شده است.

۱-۱-۳ گرانج سه بعدی مجانباً دوسیته به عنوان یک نظریه Chern-Simons

آنچه که Auchucarro و Townsend [۴۳] کشف کردند و مستقلاً Witten [۴۴] پیدا کرد، این بود که گرانج سه بعدی (نه لزوماً مجانباً پاددوسیته) و معادلات حرکتش معادل با یک نظریه ی پیمانه ای Chern-Simons روی گروه های پیمانه ای خاصی هستند. به طور دقیق تر، گرانجِ خالصِ اینشتین-هیلبرت معادل با یک نظریه ی Chern-Simons با گروه پیمانه ای $SO(2, 2)$ ، $ISO(2, 1)$ و $SO(3, 1)$ است، وقتی که ثابت کیهان شناختی، به ترتیب، منفی، صفر و مثبت باشد (جدول ۱-۱-۳).

Λ	گروه پیمانه ای
+	$SO(3, 1)$ (دوسیته)
۰	$ISO(2, 1)$ (تخت)
-	$SO(2, 2)$ (پاددوسیته)

جدول ۱-۳: پیمانه ای متناظر با نظریه های گرانج سه بعدی خالص در نظریه ی Chern-Simons معادل. ما این نتیجه را برای فضازمان مجانباً پاددوسیته ثابت می کنیم. در این حالت، جبر لی $so(2, 2)$ با روابط جابه جاگری زیر داده می شود.

$$[J_a, J_b] = \epsilon_{abc} J^c, \quad [J_a, P_b] = \epsilon_{abc} P^c, \quad [P_a, P_b] = \epsilon_{abc} J^c, \quad (1-1-3)$$

که $a, b, c \in \{0, 1, 2\}$ و این اندیس ها با متریک مینکوفسکی سه بعدی بالاوپایین می روند. همچنین، از نمایش دوگان زیر برای مولدهای لورنتز استفاده کرده ایم.

$$J_a \equiv \frac{1}{4} \epsilon_{abc} J^{bc} \leftrightarrow J^{ab} \equiv -\epsilon^{abc} J_c, \quad (2-1-3)$$

این جبر، مجهز به فرم دوخطی و ناتبهن زیر است.

$$(J_a, P_b) = \eta_{ab}, \quad (J_a, J_b) = \bullet = (P_a, P_b) \quad (3-1-3)$$

به ضمیمه‌ی **ت** نگاه کنید. آنجا دیدیم که برای گرانش سه‌بعدی مجانباً پاددوسیته، فرمول‌بندی گرانشی را برحسب میدان‌های کمکی e_μ^a و هموستارِ اسپینی ω_μ^a نوشتیم (ت-۰-۱۲).
جالب است! اندیس‌های چارچوب از صفر تا دو تعریف شده‌اند؛ دقیقاً مشابه با مولدهای جبر $\mathfrak{so}(2, 2)$. پس بیایید میدان‌های پیمانه‌ای A در کنش Chern-Simons را اینطور بسازیم.^۱

$$A_\mu \equiv \frac{1}{\ell} e_\mu^a P_a + \omega_\mu^a J_a \quad (3-1-4)$$

توجه کنید که اندیس‌های چارچوب با اندیس‌های مولد جبر یکسان شدند. با داشتن میدانِ پیمانه‌ای و همچنین فرمِ دوخطیِ ناتهِگن از معادله‌ی (۳-۱-۳)، در کنش Chern-Simons جایگذاری می‌کنیم. می‌بینیم که جمله‌ی اول به شکل زیر است.

$$\begin{aligned} \text{Tr}[A \wedge dA] &= \left(\frac{1}{\ell} e^a P_a + \omega^a J_a, \frac{1}{\ell} de^b P_b + d\omega^b J_b \right) \\ &= \frac{1}{\ell} (e^a \wedge d\omega^b + \omega^a \wedge de^b) \eta_{ab} = \frac{2}{\ell} e^a \wedge d\omega_a, \end{aligned} \quad (3-1-5)$$

هم‌چنین جمله‌ی دوم هم با اندکی جزئیاتِ بیشتر تبدیل می‌شود به

$$\begin{aligned} \frac{2}{3} \text{Tr}[A \wedge A \wedge A] &= \frac{1}{3} \text{Tr}[[A, A] \wedge A] \\ &= \frac{1}{3\ell} \left(\frac{1}{\ell^2} e^a \wedge e^b \wedge e^c + 3\epsilon_{abc} e^a \wedge \omega^b \wedge \omega^c \right) \end{aligned} \quad (3-1-6)$$

با جمع این دو جمله پیدا می‌کنیم^۲:

$$S_{\text{CS}}[e, \omega] = \frac{k}{4\pi\ell} \int_{\mathcal{M}} \left(2e^a \wedge R_a[\omega] + \frac{1}{3\ell^2} \epsilon_{abc} e^a \wedge e^b \wedge e^c \right) \quad (3-1-7)$$

و ثابتِ مرحله‌ی Chern-Simons به شکل زیر بدست می‌آید.

$$k = \frac{\ell}{4G} \quad (3-1-8)$$

نکته‌ی شایان ذکرِ دیگر این است که باتوجه به همریختیِ جبرِ لی^۴ $\mathfrak{so}(2, 2) \cong \mathfrak{sl}(2, \mathbb{R}) \oplus \mathfrak{sl}(2, \mathbb{R})$

^۱ در نمایش دوگان مطابق رابطه‌ی (ت-۰-۱۰)

^۲ برای اطلاع بیشتر از کنش Chern-Simons به ضمیمه‌ی **ت** رجوع کنید.

^۳ از رابطه‌ی انحنا‌ی کارتان

$$R_a = d\omega_a + \frac{1}{\ell} \epsilon_{abc} e^a \wedge e^b \wedge e^c$$

استفاده شده تا تانسور انحنا ظاهر بشود.

^۴ صورتِ دقیقِ این نگاشتِ همریختی را می‌توانید در (۷-۳-۳) مشاهده کنید.

، می‌توانیم کنش Chern-Simons برای گروه پیمانه‌ای $so(2, 2)$ را به شکل جمعی از دو کنش Chern-Simons برای گروه پیمانه‌ای $sl(2, \mathbb{R})$ بنویسیم. یعنی، با تعریف

$$A = (e^a/\ell + \omega^a)T_a, \quad \bar{A} = (e^a/\ell - \omega^a)T_a \quad (9-1-3)$$

که در اینجا، T_a مولدهای $sl(2, \mathbb{R})$ هستند، کنش به شکل زیر تجزیه می‌شود.

$$S_{CS}[\Gamma] = S_{CS}[A] - S_{CS}[\bar{A}] \equiv S_{CS}[A, \bar{A}] \quad (10-1-3)$$

به‌عنوان نکته‌ی پایانی، نگاهی هم به معادلات حرکت می‌کنیم و نشان می‌دهیم که معادلات حرکت نظریه‌ی پیمانه‌ای Chern-Simons همان معادلات اینشتین می‌شوند.

از بخش ۳ می‌دانیم که معادلات حرکت نظریه‌ی پیمانه‌ای Chern-Simons، به شکل موضعی صفر شدن انحنا‌ی میدان پیمانه‌ای A هستند. با انتخاب ترکیب خطی $F^a \pm \bar{F}^a = 0$ می‌بینیم که این معادلات منجر می‌شوند به

$$F^a + \bar{F}^a = 0 \Leftrightarrow R^{ab} + \frac{1}{\ell^2} e^a \wedge e^b = 0 \quad (11-1-3)$$

و

$$F^a - \bar{F}^a = 0 \Leftrightarrow T^a = de^a + \omega_b^a \wedge e^b = 0 \quad (12-1-3)$$

که به‌ترتیب معادله‌ی دوم کارتان و معادله‌ی بدون پیچش بودن هموستار اسپینی هستند؛ این دو معادله همتای معادلات اینشتین و معادله‌ی بدون پیچش بودن هموستار لوی‌چویتا در فرمول‌بندی آشنای گرانش اینشتینی هستند. پس این دو نظریه در سطح معادلات حرکت هم‌خوانی دارند.

۳-۱-۲ ترجمه‌ی شرایط مرزی مجانباً پاددوسیه روی میدان‌های پیمانه‌ای

این مباحث را بعداً به‌شکل کامل‌تری در بخش ۳-۳ می‌بینیم، اما شرایط مرزی برای ما بسیار مهم‌اند، چرا که تنها مولفه‌ی دینامیکی در نظریه‌ی گرانش سه‌بعدی هستند و نقش محوری این شرایط مرزی را در رسیدن به نظریه میدان لیوویل روی مرز همدیس خواهیم دید. پس صرفاً شرط مرزی را نقل می‌کنیم و نگاه دقیق‌تر به آن را به بخش ۳-۳ موکول می‌کنیم. قسمت مهم این بخش تبدیل این شرایط مرزی به شرط مرزی روی میدان‌های پیمانه‌ای است.

در پیمانه‌ی ففرمن-گرام، متریک فضا‌زمان سه‌بعدی به شکل زیر نشان داده می‌شود.

$$ds^2 = \frac{\ell^2}{r^2} dr^2 + \gamma_{ij}(r, x^k) dx^i dx^j \quad (13-1-3)$$

که در حد $r \rightarrow \infty$ بسط $\gamma_{ij} = r^2 g_{ij}^{(\cdot)}(x^k) + \mathcal{O}(1)$ را دارد. می‌گوییم متریک فضا‌زمان به معنای Brown-Henneaux، مجانباً پاددوسیه است اگر که در حد $r \rightarrow \infty$ به شکل زیر باشد.

$$g_{ij}^{(\cdot)} dx^i dx^j = -dx^+ dx^- \quad (14-1-3)$$

هم‌چنین، نشان داده شده که کلی‌ترین جواب نظریه گرانش اینشتین با این شرایط مرزی Brown-Henneaux، به شکل زیر است [۴۵].

$$ds^2 = \frac{\ell^2}{r^2} dr^2 - \left(r dx^+ - \frac{\ell^2}{r} L(x^-) dx^- \right) \left(r dx^- - \frac{\ell^2}{r} \bar{L}(x^+) dx^+ \right) \quad (15-1-3)$$

که $L(x^-)$ و $\bar{L}(x^+)$ دو تابع تک‌مقداری دلخواه هستند.

حالا شرایط بالا را به نظریه‌ی توپولوژیک Chern-Simons ترجمه می‌کنیم. میدان چارچوب e^a که ریشه‌ی متریک (۱۵-۱-۳) است، یعنی $ds^2 = \eta_{ab} e^a e^b$ ، در نظر می‌گیریم^۵. می‌توانیم ببینیم که انتخاب مولفه‌های زیر برای e^a مناسب است.

$$\begin{aligned} e^\cdot &= -\frac{r}{\sqrt{2}} dx^- + \frac{\ell^2}{\sqrt{2}r} \bar{L}(x^+) dx^+ \\ e^1 &= \frac{r}{\sqrt{2}} dx^+ - \frac{\ell^2}{\sqrt{2}r} L(x^-) dx^- \\ e^2 &= \frac{\ell}{r} dr \end{aligned} \quad (16-1-3)$$

حالا از شرط اول کارتان استفاده می‌کنیم تا هموستارهای اسپینی را پیدا کنیم.

$$\begin{aligned} \omega^\cdot &= \frac{r}{\sqrt{2}\ell} dx^- + \frac{\ell}{\sqrt{2}r} \bar{L}(x^+) dx^+ \\ \omega^1 &= \frac{r}{\sqrt{2}\ell} dx^+ + \frac{\ell}{\sqrt{2}r} L(x^-) dx^- \\ \omega^2 &= \cdot \end{aligned} \quad (17-1-3)$$

^۵ در این جا متریک η غیرقطری است.

میدان پیمانه‌ی دست‌سانی که از ترکیب این میدان چارچوب و هموستار اسپینی، یعنی با کمک رابطه‌ی $A = (\omega^a + e^a/\ell)j_a$ و $\bar{A} = (\omega^a - e^a/\ell)j_a$ حاصل می‌شود، به شکل زیر است.

$$A = \begin{pmatrix} \frac{dr}{\sqrt{r}} & \frac{\ell}{r} \bar{L}(x^+) dx^+ \\ \frac{r}{\ell} dx^+ & -\frac{dr}{\sqrt{r}} \end{pmatrix}, \quad \bar{A} = \begin{pmatrix} -\frac{dr}{\sqrt{r}} & \frac{r}{\ell} dx^- \\ \frac{\ell}{r} L(x^-) dx^- & \frac{dr}{\sqrt{r}} \end{pmatrix}. \quad (۱۸-۱-۳)$$

اگر اندکی با نظریه‌ی میدان‌های پیمانه‌ای آشنا باشیم، می‌دانیم که می‌توان وابستگی به r را در میدان پیمانه‌ای بدست آمده در بالا حذف کرد. کافی است که با انتخاب

$$b(r) = \begin{pmatrix} r^{-1/2} & \bullet \\ \bullet & r^{1/2} \end{pmatrix}. \quad (۱۹-۱-۳)$$

تبدیل پیمانه‌ای به شکل زیر اعمال کنیم.

$$a = b^{-1} A b + b^{-1} db, \quad \bar{a} = b \bar{A} b^{-1} + b db^{-1} \quad (۲۰-۱-۳)$$

میدان پیمانه‌ای جدید، به شکل زیر بدست می‌آید.

$$a = \begin{pmatrix} \bullet & \ell \bar{L}(x^+) dx^+ \\ dx^+/\ell & \bullet \end{pmatrix}, \quad \bar{a} = \begin{pmatrix} \bullet & dx^-/\ell \\ \ell L(x^-) dx^- & \bullet \end{pmatrix}. \quad (۲۱-۱-۳)$$

حالا به کمک تعریف $a = a_{\mu}^a j_a dx^{\mu}$ ، آن را به مولفه‌هایش می‌شکافیم^۶. می‌بینیم که $a_r = \bullet = \bar{a}_r$ و دو دسته شرایط مرزی زیر را داریم.

$$(۱) \quad a_- = \bullet = \bar{a}_+,$$

$$(۲) \quad a_+ = \frac{\sqrt{2}}{\ell} j_1 + \bullet j_2 + \sqrt{2} \ell L(x^+) j_{\bullet}, \quad (۲۲-۱-۳)$$

$$(۲') \quad \bar{a}_- = \sqrt{2} \ell \bar{L}(x^-) j_1 + \bullet j_2 + \frac{\sqrt{2}}{\ell} j_{\bullet}.$$

خواهیم دید که شرط اول، کنش Chern-Simons را به جمع دو کنش دستیده‌ی WZW تبدیل می‌کند. همچنین شرایط دسته‌ی دوم جریان‌های مدل WZW را قید می‌کنند و ما را به نظریه‌ی میدان لیوویل می‌رسانند.

^۶ برای تعریف مولدها و همچنین متریک غیرقطری به پانونیس (۴۲-۱-۳) نگاه کنید.

۳-۱-۳ بهبود کنش Chern-Simons

همانطور که در بخش پیشین دیدیم، کنش یک نظریه گرانشی در فضای مجانباً پاددوسیه به شکل زیر است:

$$S_E[A, \bar{A}] = S_{CS}[A] - S_{CS}[\bar{A}] \quad (۲۳-۱-۳)$$

که در آن:

$$S_{CS}[A] = -\frac{k}{4\pi} \int_{\mathcal{M}} Tr \left[A \wedge dA + \frac{2}{3} A \wedge A \wedge A \right] \quad (۲۴-۱-۳)$$

در این کنش، میدان های پیمانه ای A عضوی از گروه $SL(2, \mathbb{R})$ هستند.

همچنین از این به بعد با ثابت κ به جای k کار می کنیم که به شکل زیر معرفی می شود:

$$\kappa \equiv \frac{k}{4\pi} = \frac{\ell}{16\pi G}$$

اما پیش از ادامه برای رسیدن به کنش WZW، باید مشکلی جزئی را حل کنیم، کنش (۲۳-۱-۳) به معادله حرکت درستی منجر نمی شود، برای همین لازم است که کنش را اصلاح کنیم.

ابتدا بیایید ریشه مشکل را ببینیم^۷؛ اول کنش (۲۳-۱-۳) را در مختصات استوانه ای (τ, r, φ) می نویسیم:

$$S_{CS}[A] = -\kappa \int_{\mathcal{M}} dx^\mu \wedge dx^\nu \wedge dx^\rho Tr \left[A_\mu \partial_\nu A_\rho + \frac{1}{3} A_\mu [A_\nu, A_\rho] \right] \quad (۲۵-۱-۳)$$

که در آن از رابطه ی $[A, A] = 2A \wedge A$ بهره برده ایم^۸.

با کمک تعریف فرم دیفرانسیل حجم و تانسور لوی چویتا می توانیم این رابطه را باز کنیم و به صورت زیر برسیم:

$$S_{CS}[A] = -\kappa \int_{\mathcal{M}} dr d\tau d\varphi Tr \left[A_r (\partial_\tau A_\varphi - \partial_\varphi A_\tau) + A_\tau (\partial_\varphi A_r - \partial_r A_\varphi) \right. \\ \left. + A_\varphi (\partial_r A_\tau - \partial_\tau A_r) + 2A_\tau [A_\varphi, A_r] \right] \quad (۲۶-۱-۳)$$

^۷ کافی است که فقط یکی از قسمت های دستیده ی کنش را بررسی کنیم و قسمت دیگر مشابه انجام می شود.
^۸ توجه کنید که این رابطه به ظاهر اشتباه است، چون که جابه جا گر هر چیزی با خودش بایستی صفر شود؛ اما توجه کنید که میدان های A یک-فرم با مقدار در جبر لی هستند، بنابراین برای محاسبه کردن جابه جاگر باید دقت بیشتری به خرج بدهیم.

$$[A, A] = [A_\mu, A_\nu] dx^\mu \wedge dx^\nu = A_\mu A_\nu dx^\mu \wedge dx^\nu - A_\nu A_\mu dx^\mu \wedge dx^\nu$$

جمله اولی همان $A \wedge A$ است اما جمله دومی چون ماتریس های A_μ و A_ν با هم جابه جا نمی شوند، نیاز به تغییر اندیس هست، پس از انجام این کار، از اتحاد $dx^\mu \wedge dx^\nu = -dx^\nu \wedge dx^\mu$ استفاده می کنیم و می بینیم که رابطه فوق درست است.

حال از جمله‌ی دوم و پنجم انتگرال جزءبه‌جزء می‌گیریم، توجه کنید که فقط انتگرال‌های مرزی r را نگه می‌داریم چون متغیر φ تناوبی است و انتگرال‌ش روی یک دوره تناوب صفر می‌شود؛ همچنین برای جمله‌های مشتق کامل از رابطه استوکس استفاده می‌کنیم تا به رابطه زیر برسیم:

$$(۲۷-۱-۳) \quad S_{CS}[A] = -\kappa \int_{\mathcal{M}} dr d\tau d\varphi \text{Tr} \left[A_r \dot{A}_\varphi - A_\varphi \dot{A}_r + 2 A_\tau (\partial_\varphi A_r - \partial_r A_\varphi + [A_\varphi, A_r]) \right. \\ \left. + \kappa \int_{\partial\mathcal{M}} d\tau d\varphi \text{Tr} [A_\tau A_\phi] \right]$$

که علامت \square به معنای مشتق‌گیری ∂_τ است.

اما آخرین جمله در معادله فوق ثابتی است که در تعریف کنش می‌توانیم جذب کنیم و آنچه که باقی می‌ماند این است:

$$(۲۸-۱-۳) \quad S_{CS}[A] = -\kappa \int_{\mathcal{M}} dr d\tau d\varphi \text{Tr} \left[A_r \dot{A}_\varphi - A_\varphi \dot{A}_r + 2 A_\tau F_{\varphi r} \right]$$

که F ، دو-فرم انحنای مربوط به میدان A است یعنی $F = dA + A \wedge A$.

حالا می‌توانیم مشکل را واضحا ببینیم؛ اگر وردش کنش فوق را محاسبه کنیم، خواهیم دید که

$$\delta S_E = (EOM) + 2\kappa \int_{\partial\mathcal{M}} d\tau d\varphi \text{Tr} \left[A_r \delta A_\varphi - \bar{A}_r \delta \bar{A}_\varphi \right]$$

اما این عبارت، روی غشای جرم صفر نیست؛ پس معادلات حرکت صادق نیستند و باید کنش را بهبود دهیم.

با الهام از شرایط مرزی (۲۲-۱-۳) روی میدان‌های پیمانه‌ای، می‌توانیم کنش را به سادگی اصلاح کنیم، می‌دانیم که روی مرز، $A_- = 0 = \bar{A}_+$ که اندیس‌های \pm در مختصات مخروط نوری هستند^۹.

با افزودن جمله‌ی جدید $[A_\varphi^2 + \bar{A}_\varphi^2]$ $I = -\kappa \int_{\partial\mathcal{M}} d\tau d\varphi \text{Tr}$ به کنش $S_E[A, \bar{A}]$ خواهیم دید که وردش کنش روی غشای جرمی هم صفر خواهد بود و شرایط مرزی جمله‌ی اضافی را که در بالا دیدیم، حذف می‌کنند.

^۹ همانطور که دیدیم:

$$A_- = A_\tau - A_\varphi \\ \bar{A}_+ = \bar{A}_\tau + \bar{A}_\varphi$$

فصل ۴

توابع پارش گرانش سه بعدی مجانباً پاددوسیه

در این قسمت، به طور کاملاً منظم و ساختاریافته، به مطالعه‌ی تابع پارش گرانش سه بعدی با شرایط مرزی Brown-Henneaux می‌پردازیم. همانطور که می‌دانیم، کنش کلاسیکی اقلیدسی با رابطه‌ی زیر داده می‌شود.

$$I = \frac{1}{16\pi G} \int d^3x \sqrt{g} \left(R + \frac{2}{\ell^2} \right) \quad (۴-۰-۱)$$

آنچه که در این بخش مورد علاقه‌مان است، مطالعه‌ی دقیق ترازهای انرژی نظریه‌ی گرانشی در فضا زمان مجانباً پاد دوسیه است؛ یعنی فرم متریک در دور دست‌های قید می‌شود و مسئله‌ی گرانش کوانتومی با کمک رهیافت انتگرال مسیر، با جمع وزن دار (وزن کنش اقلیدسی) روی تمامی فضا زمان (جواب‌های معادله‌ی اینشتین) که فرم مجانبی مذکور را دارند، بررسی می‌شود. می‌بینیم که متأسفانه، نتیجه‌ای که از نتیجه‌ای که از این محاسبات می‌گیریم، خیلی از نظر فیزیکی خوشایند نیست؛ همچنین سناریوهای احتمالی برای گرفتن این جواب‌های غیر قابل قبول فیزیکی را هم ذکر می‌کنیم.

از دیدگاه تمام‌نگاری، دوست داریم که بتوانیم نتیجه‌ی تابع پارش را به فرم $\text{Tr exp}(-\beta H)$ بنویسیم و نظریه‌ی گرانشی سه بعدی مجانباً پاددوسیه‌ی خالی را معادل با یک سامانه‌ی کوانتومی بدانیم که هامیلتونی آن H است و β عددی مختلط با قسمت حقیقی مثبت است که نمایانگر معکوس دما در ترمودینامیک کوانتومی است. در اولین برخورد با مسئله، خیلی طبیعی است که هامیلتونی، همان انرژی ADM باشد که از طریق رفتار مجانبی متریک بدست می‌آید. این روش، دقیقاً رهیافت Brown و Henneaux در [۱] بود که منجر به پیدا شدن تقارن‌های مجانبی گرانش کوانتومی سه بعدی شد. البته توجه می‌کنیم که

تنها درجات آزادی سرتاسری سامانه، انرژی (یا جرم آن) نیست، بلکه ممکن است تکانه (زاویه‌ای) برای توصیف فضازمان لازم باشد، در این صورت باید تابع پارش را به شکل $\text{Tr exp}(-\beta H - iJ\theta)$ برای سامانه کوانتومی دوگان بنویسیم.

تابع پارش، با جمع روی هندسه‌های اقلیدسی سه بعدی که جواب فضازمان هستند، محاسبه می‌شوند. ما انتگرال مسیر نیمه کلاسیک را روی هندسه‌هایی که در مرز همدیس‌شان یک چنبره هستند و پارامتر ماژولی $\tau = \frac{\theta}{4\pi} + i\beta$ دارند، محاسبه می‌کنیم^۱.

در مختصات پوانکاره، متریک به شکل

$$ds^2 = \frac{du^2 + |dz|^2}{u^2}$$

است و مرز همدیس در حد $u \rightarrow 0$ حاصل می‌شود.

مطابق دوگانی پیمانه/گرانش، تابع پارش محاسبه شده در بالا، تابع پارش نظریه‌ی دوگان روی مرز همدیس، تابع پارش روی یک نظریه‌ی میدان همدیس است که روی چنبره تعریف شده است. در حقیقت، می‌بینیم که هامیلتونی و تکانه‌ی نظیر نظریه‌ی دوگان، با هامیلتونی و تکانه‌ی زاویه‌ای فضازمان گرانشی معادل می‌شود.

از دیدگاه انتگرال مسیر گرانشی، تابع پارش با دستور زیر حاصل می‌شود.

$$Z = \int [D\phi][Dg_{\mu\nu}] e^{-I[g_{\mu\nu}, \phi]} \quad (۲-۰-۴)$$

اما متأسفانه، این انتگرال همگرا نیست. تنها راه شناخته شده برای دست‌وپنجه نرم کردن با این مشکل این است که پیرامون یک جواب کلاسیک بسط بدهیم (یعنی از تقریب زینی استفاده کنیم). هیچ جواب دقیقی به این سوال هم در دسترس نیست که توپولوژی‌هایی که جواب کلاسیک ندارند، آیا سهم معناداری به انتگرال مسیر می‌دهند یا نه. همچنین اثرات غیراختلالی به انتگرال مسیر گرانشی هم در هاله‌ای از ابهام است. متأسفانه، فعلاً، راهی هم برای بررسی کردن این سوالات در دسترس نیست.

^۱ ممکن است که سوال پرسیده شود چرا تمرکزمان روی هندسه‌های با مرز چنبره است و چرا حالت ساده‌ی مرز کروی را اول بررسی نمی‌کنیم؟ می‌دانیم مرز همدیس چنبره که یک پارامتر ماژولی دارد، و در جاهای مختلف فیزیک دیده‌ایم که این پارامتر ماژولی در ارتباط با خواص گرمایی فضازمان است. به‌خصوص ما علاقه‌مندیم که از نتایج این بخش در ترمودینامیک سیاهچاله‌های سه بعدی استفاده کنیم. اگر سراغ سهم‌هایی برویم که مرز همدیس کروی دارند، مطابق دوگانی پیمانه/گرانش، این معادل هندسه‌هایی است که فضای سرتاسری پاددوسیه را هستند و سیاهچاله‌ها را در بر نمی‌گیرد. البته این هرگز به این معنی نیست که مرزهای کروی برای ما فیزیک جدید ندارند، اتفاقاً در مورد پایداری خلا فضای گرانشی نتایجی دربردارند؛ اما اگر قرار باشد خواص گرمایی فضازمان را نگاه کنیم، اولین سهم‌های مهم همین سهم‌های چنبره‌ای هستند. اگر باز هم علاقه‌مند باشیم که کاوش‌مان را عمیق‌تر کنیم، مرزهای همدیسی که رویه‌های ریمانی با $g > 1$ هستند هم جالب توجه‌اند؛ اما متأسفانه بررسی ریاضی این خمینه‌ها دشوارتر است.

اما خوشبختانه، ساختار گرانش سه بعدی طوری است که به ما امکان دسته بندی جواب ها را می دهد. [۶۷، ۶۸] این دسته بندی جوابها به لطفِ عدم وجود درجات آزادی موضعی در توده ی خمینه است که باعث می شود معادله ی اینشتین به طور خودکار در توده برقرار بشود. جالب تر از همه این که خواهیم دید بسطِ اختلالیِ انتگرالِ مسیر گرانشی حول جوابهای کلاسیک در مرتبه ی تک حلقه خاتمه می یابد و به این معنی، گرانش سه بعدی در مرتبه ی تک حلقه دقیق است.

در این بخش، مباحث زیر را به ترتیب پی می گیریم. اول سهم های شناخته شده به انتگرالِ مسیر گرانشی را دسته بندی می کنیم و سهم های معنادار فیزیکی را از سهم های کم اهمیت جدا می کنیم. در بخش بعدی، جمع تابع پارش را با کمک سری های پوانکاره و روش بازجمع پواسون و منتظم سازی انجام می دهیم. دقیقاً در همین مرحله است که جوابهای غیر فیزیکی می بینیم و سپس سعی می کنیم سناریوهای احتمالی برای غیر فیزیکی شدن پاسخمان را نگاه کنیم. نتایج کارهای ما تصحیحات به آنتروپی سیاهچاله ی BTZ را بدست می دهند و در آخر هم تمامی کارهای بالا را برای نظریه های ابرمقتارن نگاه می کنیم؛ نتایج کم و بیش یکسان است و می توانیم بگوییم که قسمت عمده ی فیزیک مسئله را در مسئله ی بوزونی دیده ایم.

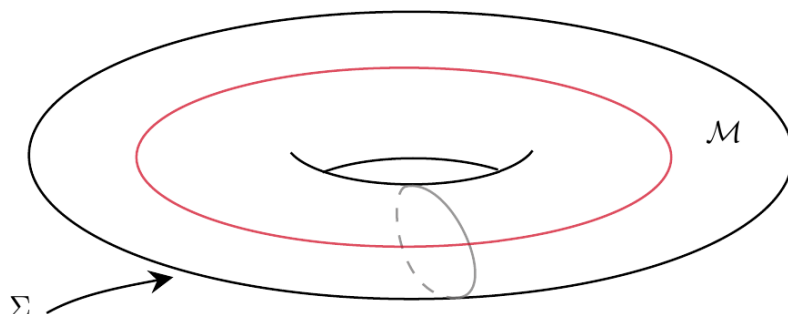
۴-۱ جواب های کلاسیکی سهم در انتگرالِ مسیر گرانشی

در این قسمت، جواب های کلاسیکی در نظریه ی گرانش سه بعدی را نگاه می کنیم و انتخاب های مختلف برای خمینه های فضازمانی معتبر M را بررسی می کنیم، هم چنین سهم یک جواب نوعی را به تابع پارش نگاه می کنیم و استدلالاتی کلی از منظر تمام نگاری خواهیم داشت.

۴-۱-۱ دسته بندی جواب های کلاسیک

اولین قدم در بدست آوردن جواب های کلاسیک، قید کردن شرایط مرزی خمینه است و همانطور که در بخش قبلی گفتیم، خمینه های مورد بررسی ما در حد $u \rightarrow 0$ (یعنی مرز همدیس)، به شکل یک چنبره (یا رویه ای ریمانی با $g = 1$) هستند و متریک روی این چنبره، متریک تخت $ds^2 = |dz|^2$ در مختصات مختلط است. این مرز همدیس را با Σ نشان می دهیم. هم چنین، فرضهای استاندارد نسبیت عام را روی این فضازمان سه بعدی می گذاریم. یعنی خمینه ی M هموار است و متریک روی این خمینه کامل است.

هم چنین Σ تنها مرز این خمینه است ($\partial\mathcal{M} = \Sigma$). البته شاید مجبور باشیم جایی از این شرایط کوتاه بیایم و تعدیلشان کنیم، اما برای شروع نقطه‌ی خوبی هستند. (به شکل ۴-۱)



شکل ۴-۱: چنبره‌ای که توصیف‌کننده‌ی مرز همدیس فضا زمان است. خمینه‌ی \mathcal{M} فضای داخلی این چنبره به همراه مرزش است.

گروه‌های خودریختی فضای AdS_3 ، همان گروه لورنتز است.

$$SO(1,3) \cong \frac{SL(2, \mathbb{C})}{\mathbb{Z}_2}$$

و متریک آن در مختصات پوانکاره به شکل

$$ds^2 = \frac{du^2 + |dz|^2}{u^2}$$

است.^۲

می‌دانیم که جواب‌های فضا زمانی معادله‌ی اینشتین، موضعا به شکل AdS_3 هستند؛ این به این معناست که اگرچه در خواص سرتاسری ممکن است کاملا متفاوت باشند، اما موضعا شبیه با فضای مدل AdS_3 هستند. برای ساخت خمینه‌هایی به شکل بالا، یک روش کلی و منظم وجود دارد که در اینجا توصیفش می‌کنیم. اول با انتخاب یک زیرگروه گسسته (یا متناهی تولید شده) از گروه خودریختی‌های فضای پاددوسیه‌ی سه بعدی شروع می‌کنیم و با خارج قسمتی کردن فضای پاددوسیه‌ی سه بعدی با این زیرگروه انتخابی، به فضایی می‌رسیم که همچنان در معادله‌ی اینشتین صادق است (البته به جز احتمالا در تعداد معدودی نقطه). بیاید این پروسه را در عمل ببینیم.

مختصه‌های (z, u) را برای نیم فضای بالای \mathbb{H}^3 انتخاب می‌کنیم و با یک عدد کوانترنیونی به شکل

$y = z + ju$ نقاط آن را نشان می‌دهیم. حالا اثر گروه $\begin{pmatrix} a & b \\ c & d \end{pmatrix} \in SL(2, \mathbb{C})$ روی این فضا را به شکل

^۲ در این متریک، شعاع فضای پاددوسیه را واحد گرفته‌ایم.

زیر تعریف می‌کنیم.

$$z \rightarrow (ay + b)(cy + d)^{-1} \quad (۱-۱-۴)$$

توجه کنید که دو عضو $\begin{pmatrix} 1 & 0 \\ 0 & 1 \end{pmatrix}$ و $\begin{pmatrix} -1 & 0 \\ 0 & -1 \end{pmatrix}$ به یک شکل روی نقاط فضا اثر می‌کنند؛ پس اثر بالا در حقیقت اثر گروه $\frac{SL(2, \mathbb{C})}{\mathbb{Z}_2}$ یا گروه لورنتز روی نیم فضای بالایی است. مطابق حرفهایی که در بالا گفته شد، جوابهای گرانش سه بعدی، به فرم $\frac{AdS'_4}{\Gamma}$ هستند که Γ زیرگروهی گسسته (یا متناهی تولید شده) از $SO(1, 3)$ است و AdS'_4 تنها یک زیرمجموعه‌ی باز از فضای پاددوسیته‌ی سه بعدی است که گروه تقارنی Γ روی آن اثر می‌کند.

حالا بیایید ببینیم که در این ساختار، مرز همدیس خمینه‌ی \mathcal{M} که محل زندگی نظریه میدان همدیس دوبعدی است، چطور ساخته می‌شود. می‌دانیم مرز همدیس فضای پاددوسیته‌ی سه بعدی یک کره‌ی دوبعدی است که می‌توانیم آن را به چشم فضای تصویری $\mathbb{CP}^1 = \mathbb{C} \cup \{\infty\}$ به آن نگاه کنیم. این فضای تصویری با پارامتر مختلط z مختصه بندی شده است. از شیوه‌ی اثر گروه لورنتز روی نیم فضای بالایی در معادله‌ی (۱-۱-۴) می‌توانیم ببینیم که اثر زیر روی کره‌ی ریمان (یا \mathbb{CP}^1) القا خواهد شد.

$$z \rightarrow (az + b)(cz + d)^{-1} \quad (۲-۱-۴)$$

اینجا اما کمی دقت ساختاری ریاضی لازم است که ما آن را در حد اشاره ذکر می‌کنیم. خارج قسمتی کردن کل کره‌ی ریمان با این گروه، یک خمینه‌ی خوش تعریف روی مرز نمی‌دهد، بلکه باید نقاط ثابت اثر را برداریم و اثر را تنها روی ناحیه‌ای تعریف کنیم که به شکل ناپیوسته است. این ناحیه‌ی جدید را با $U \subset \mathbb{CP}^1$ نشان می‌دهید و آن را ناحیه‌ی ناپیوستگی می‌نامیم. با در نظر گرفتن این اصلاح جزئی، مرز همدیس خمینه‌ی \mathcal{M} ، از خارج قسمتی کردن U با گروه Γ حاصل می‌شود.

$$\partial \mathcal{M} = \Sigma = \frac{U}{\Gamma} \quad (۳-۱-۴)$$

در اینجا، نکته این است که چون اثر گروه به گونه‌ای است که مولفه‌های z و \bar{z} را مخلوط نمی‌کند، پس مرز همدیس هم ساختار مختلط کره‌ی ریمان را به ارث می‌برد.

اما یادمان هست که انگیزه‌ی ما مطالعه‌ی خمینه‌هایی بود که مرز همدیس شان یک چنبره بود، پس باید گروه‌های گسسته‌ی Γ را به درستی انتخاب کنیم. اگر قرار باشد که Σ چنبره باشد، پس گروه بنیادی آن

$\pi_1(U) \subset \mathbb{Z} \times \mathbb{Z}$ در سطح گروه بنیادی این است که $\pi_1(\Sigma) = \mathbb{Z} \oplus \mathbb{Z}$ است. نتیجه‌ی رابطه‌ی (۴-۱-۳) در سطح گروه بنیادی این است که $\pi_1(U) \subset \mathbb{Z} \times \mathbb{Z}$ و این سه امکان را مطرح می‌کند.

۱. حالتی که اندیس گروه $\pi_1(U)$ در $\pi_1(\Sigma)$ متناهی باشد.

$$\pi_1(U) = \mathbb{Z} \quad ۲.$$

۳. حالت آخر هم این است که گروه $\pi_1(U)$ ممکن است بدیهی باشد.

در ادامه از خواص و قضایایی در نظریه‌ی رویه‌های ریمانی استفاده می‌کنیم تا این سه حالت را نگاه کنیم و بفهمیم که کدامشان به ما خمینه‌ای با مرز همدیس چنبره می‌دهند.

حالت اول ممکن نیست. چون در این صورت، خود U یک پوشش با اندیس متناهی از Σ است. به‌خاطر متناهی بودن اندیس گروه $\pi_1(U)$ در $\pi_1(\Sigma)$ ، گروه بنیادی آن حتماً یک مولفه‌ی \mathbb{Z} دارد. اما از طبقه‌بندی فضاهاى تخت می‌دانیم که فقط در صورتی این امکان پذیر است که خود U یک رویه‌ی ریمانی با $g = ۱$ یا چنبره باشد. اما یادمان هست که $U \subset \mathbb{C}P^1$ و هیچ زیرمجموعه‌ای از کره‌ی ریمان یک چنبره نیست! پس حالت اول کلاً امکان ندارد.

سراغ حالت سوم برویم، وقتی گروه بنیادی فضای پوششی بدیهی می‌شود؛ مطابق تعریف، فضای پوششی یک فضای پوششی عام است و فضای پوششی عام یک چنبره، صفحه‌ی مختلط یا \mathbb{R}^2 است. برای این که $U \cong \mathbb{C}$ را در $\mathbb{C}P^1$ نشانیم، یک راه بیشتر نداریم؛ باید صفحه‌ی مختلط را در خودش نشانیم و نقطه‌ی بی‌نهایت را نقطه‌ی ثابت اثر بگیریم. (تمامی انتخاب‌های دیگر، به هر شکلی که باشند، بالاخره باید یک نقطه را به‌عنوان نقطه‌ی ثابت داشته باشند.) اگر تقاضا کنیم که نقطه‌ی $z = \infty$ نقطه‌ی ثابت اثر باشد، زیرگروهی از $SL(2, \mathbb{C})$ که این نقطه را ثابت نگه می‌دارد، از ماتریس‌های بالامثلثی تشکیل شده است.

$$\begin{pmatrix} \lambda & w \\ 0 & \lambda^{-1} \end{pmatrix} \quad (۴-۱-۴)$$

به شکل $z \rightarrow \lambda^2 z + \lambda w$ روی مرز همدیس اثر می‌کند.

حالا مطابق قضیه‌ی یکنواخت‌سازی سطوح ریمانی چون که U همبند ساده است، پس $\pi_1(U)$ با تبدیلات deck این اثر یکسان است و این یعنی $\Gamma = \mathbb{Z} \oplus \mathbb{Z}$. بنابراین باید بتوانیم گروه $\mathbb{Z} \oplus \mathbb{Z}$ از

ماتریس‌های بالامثلثی بیرون بکشیم. دو ماتریس $\begin{pmatrix} 1 & a \\ 0 & 1 \end{pmatrix}$ و $\begin{pmatrix} 1 & b \\ 0 & 1 \end{pmatrix}$ که $a, b \in \mathbb{C}$ اعدادی هستند که روی \mathbb{R} مستقل خطی هستند، انتخاب خوبی برای مولدها هستند. بنابراین گروه Γ با دو عدد مختلط ساخته می‌شود؛ اما این همه‌ی ماجرا نیست.

با تزویجی کردن اعضای این گروه با اعضای دیگر از $SL(2, \mathbb{C})$ به گروه دیگری می‌رسیم که با این گروه هم‌ریخت است، اما پارامترهای a, b آن متفاوت‌اند. چیزی که درحقیقت مهم است، نسبت b/a است. اگر بگیریم $a = 1$ و $b = \tau$ ، گروه مدنظر ما با دو ماتریس $\begin{pmatrix} 1 & \tau \\ 0 & 1 \end{pmatrix}$ و $\begin{pmatrix} 1 & 1 \\ 0 & 1 \end{pmatrix}$ تولید می‌شود. به‌عنوان نکته‌ی پایانی، تبدیل $\tau \rightarrow -\tau$ هم تاثیری روی زیرگروه تولید شده ندارد، پس باید خودمان را به $\text{Im}\tau > 0$ محدود کنیم.

با تمامی این حرفهای بالا، گروه Γ به شکل $z \rightarrow z + m + n\tau$ که $m, n \in \mathbb{Z}$ است، معرفی می‌شود. این گروه درحقیقت معرف یک شبکه روی صفحه‌ی مختلط است و کاری که الان انجام دادیم، ساختن فضای تائیشمولر چنبره بود.

اما مشکلی وجود دارد! خمینه‌ی خارج‌قسمتی حاصل که به شکل $\mathbb{C}/\mathbb{Z} \oplus \mathbb{Z}$ است، خواصی که در اول این بخش ذکر کردیم ندارد. تنها مرز خمینه قرار بود چنبره در حد $u \rightarrow 0$ باشد. اما متأسفانه در $u = \infty$ هم مرزی داریم، در این مرز متریک صفر می‌شود. این مرز دقیقاً مانند یک نقطه‌ی بریده شده است و در شکل ۴-۲ دیده می‌شود.

پس این خمینه واجد شرایطی که انتظار داشتیم نیست.

البته هنوز هم مطمئن نیستیم که دور ریختن این فضاها کار درستی باشد، اما شواهدی فیزیکی پیشینی ما، شرایط جواب معادله‌ی اینشتین، مانع حضورشان می‌شود. یک دلیل فیزیکی تر این است که حلقه‌هایی که حول این نقاط زده شده است، می‌توانند طول بسیار بسیار کوچکی بگیرند و مرتبه‌های زیرپلانکی بروند. این حلقه‌ها تقریباً نیمه کلاسیک را خراب می‌کنند. (به شکل ۴-۳ نگاه کنید).

۴-۱-۲ ساخت هندسه‌های هموار نیمه کلاسیک

اگر $\pi_1(U) = \mathbb{Z}$ باشد، ناحیه‌ی باز U نمی‌تواند به جز $\mathbb{R} \times S^1$ باشد. برای ساختن چنین هندسه‌هایی، باید سراغ زیرگروه‌هایی از گروه لورنتز برویم که شامل ماتریس‌های قطری است (تا نقطه‌ی $z = 0$ را

پیوست ث

مقدمه ای کوتاه بر نظریه‌های Chern-Simons و WZW

ث-۱ نظریه Chern-Simons

در این قسمت، تنها نظریه‌ی توپولوژیک Chern-Simons را توصیف می‌کنیم و به ویژگی‌هایی که برای اهداف ما در بخش ۳ مورد نیاز است، اشاره می‌کنیم.

کنش *Chern-Simons* برای یک گروه فشرده‌ی G به شکل زیر داده می‌شود.

$$S_{CS}[A] = \frac{k}{4\pi} \int_M \text{Tr} \left(A \wedge dA + \frac{2}{3} A \wedge A \wedge A \right) \quad (\text{ث-۱-۱})$$

که k ثابت مرحله نامیده می‌شود. A نمایانگر ۱-فرم با مقدار در جبر لی \mathfrak{g} است، یعنی $A = A_\mu dx^\mu$. همچنین Tr نشانگر فرم دوخطی ناتبه‌گن روی جبر لی \mathfrak{g} است^۱.

با نوشتن $A = A^a T_a$ ، که T_a مولدهای جبر لی \mathfrak{g} هستند، جمله‌ی اول کنش (ث-۱-۱)، مشاهده می‌کنیم که

$$\text{Tr}[A \wedge dA] = \text{Tr}(T_a T_b) [A^a \wedge dA^b]$$

^۱ این شرط به این خاطر است که تمامی میدان‌های پیمانه‌ای ظاهر شده در کنش، باید جمله‌ی جنبشی داشته باشند. تمامی جبرهای لی نیمه‌ساده واجد چنین فرم دوخطی ناتبه‌گنی هستند.

این یعنی $d_{ab} \equiv \text{Tr}(T_a T_b)$ نقش متریک در جبر لی \mathfrak{g} را بازی می‌کند و به همین خاطر باید ناتبهن باشد.

با وردش دادن کنش بالا و همچنین انتگرال‌گیری جزء به جزء، حاصل می‌شود که

$$\delta S_{\text{CS}}[A] = \frac{k}{4\pi} \int_{\mathcal{M}} \text{Tr} \left(2 \delta A \wedge (dA + A \wedge A) \right) - \frac{k}{4\pi} \int_{\partial \mathcal{M}} \text{Tr} (A \wedge \delta A) \quad (\text{ث-۱-۲})$$

اگر δA طوری انتخاب شود که روی مرز خمینه‌ی، یعنی $\partial \mathcal{M}$ ، صفر شود،^۲ معادله‌ی حرکت را به دست می‌آوریم.

$$F \equiv dA + A \wedge A = 0 \quad (\text{ث-۱-۳})$$

که F یک ۲-فرم با مقدار در جبر لی \mathfrak{g} است و انحنا‌ی میدان‌های پیمانه‌ای A را می‌سنجد.

این معادله، به شکل موضعی نتیجه می‌دهد که

$$A = G^{-1} dG \quad (\text{ث-۱-۴})$$

این یعنی که میدان A ، تبدیلی پیمانه‌ای از پیکربندی بدیهی $A = 0$ است؛ به بیانی دیگر، A پیمانه‌ی خالص است.^۳

این مشاهده به ما می‌فهماند که نظریه‌ی Chern-Simons درجه‌ی آزادی انتشارشونده ندارد و درحقیقت یک نظریه‌ی میدان توپولوژیک است. به همین دلیل هم است که می‌تواند با یک نظریه‌ی گرانشی که درجه‌ی آزادی انتشارشونده ندارد، معادل شود.

ث-۲ نظریه‌ی WZW

با مدل سیگمای غیرخطی شروع می‌کنیم و با افزودن جمله‌ی Wess-Zumino ناهنجاری همدیس این مدل را برطرف می‌کنیم تا به مدل WZW برسیم.

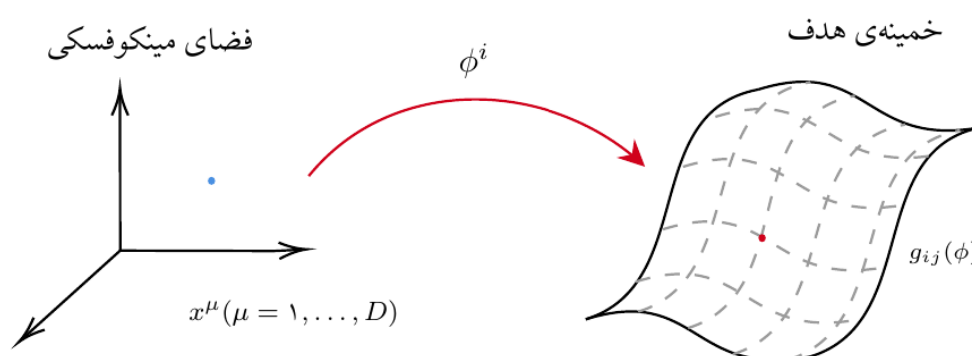
^۲ یا به سیاق فصل ۳ می‌توانیم از کنش بهبودیافته استفاده کنیم تا با وجود صفرنشدن وردش جمله‌ی مرزی، اصل وردش خوش تعریف باقی بماند.

^۳ البته به شکل سراسری لزوماً A پیمانه خالص نیست و ممکن است هولونومی در کار باشد.

ث-۲-۱ مدل سیگمای غیرخطی

مدل Wess-Zumino-Witten یک مدل خاص بر مبنای مدل سیگمای غیرخطی است؛ بنابراین ابتدا مختصراً با مدل سیگمای غیرخطی آشنا می‌شویم.

مدل سیگمای غیرخطی، تعدادی میدان نرده‌ای ϕ^i ($i = 1, \dots, n$) دارد که نگاشتی از یک فضازمان تخت (مینکوفسکی) به یک خمینه‌ی هدف هستند. خمینه‌ی هدف، یک خمینه ریمانی M_n با بعد حقیقی n است که به یک متریک $g_{ij}(\phi)$ مجهز است. در حقیقت میدان‌های اسکالر به عنوان مختصات روی خمینه‌ی ریمانی تعریف می‌شوند و از آنجایی که متریک به میدانهای ϕ (مختصات روی خمینه هدف) بستگی دارد، بنابراین این مدل غیرخطی است.



شکل ث-۱: میدان‌ها در یک مدل سیگمای غیرخطی، نگاشتهایی از فضای تخت به یک خمینه هدف هستند.

کنش این مدل به شکل زیر تعریف می‌شود:

$$S_\sigma[\phi] = \frac{1}{4a^2} \int d^D x \, g_{ij}(\phi) \eta^{\mu\nu} \partial_\mu \phi^i \partial_\nu \phi^j \quad (\text{ث-۲-۱})$$

که در آن $a^2 > 0$ ثابت جفت‌شدگی بدون بعد است.

اما مدل Wess-Zumino-Witten که به اختصار آن را WZW می‌نامیم؛ یک مدل سیگمای غیرخطی خاص است. در این مدل، خمینه‌ی هدف یک گروه لی نیمه‌ساده G است؛ همچنین میدان‌هایی که نگاشت‌هایی از فضای تخت به این خمینه هدف هستند، ماتریسی هستند که با $g(x)$ آنها را نشان می‌دهیم.

برای فضای تخت دو بعدی که آن را با Σ نشان می‌دهیم و دو مختصات (τ, φ) را دارد؛ کنش مدل

غیرخطی سیگما اینطور نوشته می شود.

$$S_\sigma[g] = \frac{1}{4a^2} \int_\Sigma d^2x \operatorname{Tr} [\eta^{\mu\nu} \partial_\mu g \partial_\nu (g^{-1})] \quad (\text{ث-۲-۲})$$

توجه کنید که برای این که کنش کمیتی نرده‌ای باشد، باید از ماتریس‌ها یک عدد بسازیم. بنابراین، از فرم کیلینگ روی گروه لی نیمه‌ساده استفاده کرده‌ایم و شرط وجود رد در گروه‌های لی این است که نیمه ساده باشند (حتی اگر فشرده نباشند).

حالا کمی بیشتر به بررسی این کنش می پردازیم. ابتدا معادله حرکت آن را پیدا می کنیم.

برای ساده سازی کنش توجه می کنیم که :

$$\partial_\nu (g^{-1}) = -g^{-1} \partial_\nu g g^{-1}$$

که به سادگی از رابطه $\partial_\nu (gg^{-1}) = 0$ حاصل می شود. با جایگذاری این جمله در کنش به شکل دیگر کنش می رسم:

$$S_\sigma[g] = \frac{1}{4a^2} \int_\Sigma d^2x \operatorname{Tr} [g^{-1} \partial_\mu g g^{-1} \partial^\mu g] \quad (\text{ث-۲-۳})$$

این صورت از کنش به وضوح تقارن $g \rightarrow g_L g g_R^{-1}$ را دارد.

با وردش کنش، معادلات حرکت حاصل می شوند:

$$\begin{aligned} \delta S_\sigma &= \frac{1}{4a^2} \int_\Sigma d^2x \operatorname{Tr} [(-g^{-1} \delta g g^{-1} \partial_\mu g + g^{-1} \delta(\partial_\mu g)) g^{-1} \partial^\mu g] \\ &= \frac{1}{4a^2} \int_\Sigma d^2x \operatorname{Tr} [\partial_\mu (g^{-1} \delta g) g^{-1} \partial^\mu g] \\ &= -\frac{1}{4a^2} \int_\Sigma d^2x \operatorname{Tr} [g^{-1} \delta g \partial_\mu (g^{-1} \partial^\mu g)] \end{aligned} \quad (\text{ث-۲-۴})$$

پس معادله حرکت $\partial^\nu (g^{-1} \partial_\nu g) = 0$ است.

با تغییر مختصات $x^\pm \equiv \tau \pm \varphi$ معادلات حرکت به شکل زیر نوشته می شوند:

$$\partial_+ J_+ + \partial_- J_- = 0$$

که در آن $J_\pm = g^{-1} \partial_\pm g$ است.

می بینیم که جریان های چپ و راست رو، به تنهایی پایسته نیستند؛ در حالی که تقارن ضرب از چپ و ضرب از راست، بایستی دو جریان پایستار بدهند؛ به همین دلیل بایستی کنش اصلاح شود ^۴.

^۴ یکی دیگر از دلایل اصلاح نظریه این است که در سطح کلاسیکی این مدل تقارن همدیس دارد، اما بعد از کوانتش، این

ث-۲-۲ افزودن جمله ی Wess-Zumino

برای حل مشکلاتی که در بخش قبلی دیدیم؛ بایستی جمله‌ی زیر را اضافه کنیم [۸۴]، [۸۵]:

$$S = S_\sigma[g] + k\Gamma[G]$$

که در آن k عددی صحیح است و کنش Wess-Zumino یعنی $\Gamma[G]$ به شکل زیر است:

$$\begin{aligned}\Gamma[G] &= \frac{1}{3} \int_V \text{Tr} \left[(G^{-1} dG)^3 \right] \\ &= \frac{1}{3} \int_V d^3x \epsilon^{\mu\nu\rho} \text{Tr} \left[G^{-1} \partial_\mu G G^{-1} \partial_\nu G G^{-1} \partial_\rho G \right]\end{aligned}\quad (\text{ث-۲-۵})$$

که در آن V یک خمینه سه بعدی است که مرز آن Σ است. همچنین G هم توسعه‌ی میدانها به خمینه‌ی سه بعدی V است^۵ برای بررسی معادلات حرکت، وردش کنش را تحت $G \rightarrow G + \delta G$ محاسبه می‌کنیم، پس از استفاده از قضیه استوکس می‌رسیم به:

$$\delta\Gamma[G] = \int_\Sigma d^3x \text{Tr} \left[\epsilon^{\mu\nu} \delta g g^{-1} \partial_\mu g g^{-1} \partial_\nu g g^{-1} \right] \quad (\text{ث-۲-۶})$$

با ترکیب این معادله حرکت و معادله‌ای که برای بخش $S_\sigma[g]$ داشتیم، به دست می‌آوریم:

$$\frac{1}{2a^2} \eta^{\mu\nu} \partial_\mu (g^{-1} \partial_\nu g) - k \epsilon^{\mu\nu} \partial_\mu (g^{-1} \partial_\nu g) = 0$$

و با بازنویسی در مختصات مخروط نوری $(\partial_\pm = \frac{1}{\sqrt{2}}(\partial_t \pm \partial_\phi))$ می‌رسیم به:

$$(1 - 2a^2 k) \partial_+ (g^{-1} \partial_+ g) + (1 + 2a^2 k) \partial_- (g^{-1} \partial_- g) = 0$$

حال می‌توانیم از پارامتر k که معرفی کردیم استفاده کنیم و مقدار آن را طوری انتخاب کنیم که جریان‌ها پایدار شوند.

• اگر $a^2 = -\frac{a}{\sqrt{k^2}}$ آنگاه $k < 0$ و پایستگی جریان راست رو حاصل می‌شود یعنی $\partial_+ J_+ = 0$

• برای $a^2 = \frac{a}{\sqrt{k^2}}$ حتماً k مثبت خواهد بود و پایستگی جریان چپ رو را داریم: $\partial_- J_- = 0$

تقارن شکسته می‌شود و برای بازگرداندن تقارن همدیس در سطح کوانتومی نیاز به جملات جدید در کنش خواهیم داشت که جمله‌ی Wess-Zumino دقیقاً همین کار را می‌کند.

^۵ توجه کنید که توسعه‌ی یک خمینه با داشتن مرز یکتا نیست، همچنین توسعه‌ی میدان‌های g به شکلی که $G|_{\partial V} = g$ هم لزوماً یکتا نیست. پس تعریف Γ به شکل فوق دارای ابهام است، اما خوشبختانه در گروه فشرده‌ی $SL(2, \mathbb{R})$ و روی فضای دو بعدی تخت، مشکلی از لحاظ ابهام در تعریف نداریم. برای اطلاع بیشتر در این مورد به [۸۶] رجوع کنید.

با انتخاب $a^2 = -\frac{a}{2k^2}$ به کنش WZW می‌رسیم که گاهی آن را WZNW هم می‌گویند.

$$S_{WZW}[g] = \frac{k}{2} \int d^2x \text{Tr} [\eta^{\mu\nu} g^{-1} \partial_\mu g g^{-1} \partial_\nu g] + k\Gamma[G] \quad (\text{ث-۷-۲})$$

جوابهای معادله حرکت این کنش یعنی $\partial_+(g^{-1} \partial_- g) = 0$ به شکل $g = \theta_+(x^+) \theta_-(x^-)$ هستند که توابع $\theta_+(x^+)$ و $\theta_-(x^-)$ دلخواه هستند.

همچنین این مدل دو جریان پایستار دارد که به $J_- \equiv g^{-1} \partial_- g$ و $\bar{J}_+ \equiv -\partial_+ g g^{-1}$ هستند. می‌توان به سادگی دید که این کنش تحت تبدیل $g \rightarrow \Theta_+(x^+) g \Theta_-^{-1}(x^-)$ ناورد است و جریان‌های پایسته این تبدیل همان دو جریانی است که آورده شد. بنابراین کاری که با افزودن جمله ی Wess-Zumino کردیم مثل این بود که یک تقارن سرتاسری را پیمانه ای کردیم.